
La formule de Weyl

Quentin EHRET

Année : 2017/2018

Mémoire de Master 1 Mathématiques Fondamentales

Rédigé sous la direction de Yohann LE FLOCH

UNIVERSITÉ DE STRASBOURG



Table des matières

1	Opérateur laplacien et notions connexes	3
1.1	Le laplacien	3
1.1.1	Définition	3
1.1.2	Les conditions de Dirichlet et de Neumann	4
1.1.3	Équation fondamentale	4
1.2	Formules de Green et conséquences	5
1.2.1	Les formules de Green	5
1.2.2	Conséquences pour le laplacien	6
1.3	La formule de Weyl	7
2	Formule pour un rectangle	8
2.1	Valeurs propres et vecteurs propres	8
2.2	Comportement asymptotique des valeurs propres sur le rectangle	10
2.2.1	Avec les conditions de Dirichlet	10
2.2.2	Avec les conditions de Neumann	12
3	Propriétés des valeurs et vecteurs propres	14
3.1	Les valeurs propres vues comme minimum du quotient de Rayleigh	14
3.1.1	Principe du minimum pour la première valeur propre	14
3.1.2	Exemples de calcul de la première valeur propre	16
3.1.3	Principe du minimum pour la $n^{\text{ème}}$ valeur propre	17
3.1.4	Extension aux conditions de Neumann	18
3.2	Densité des vecteurs propres	19
4	Formule pour un domaine plan quelconque	21
4.1	Espaces de Sobolev	21
4.2	Domaine constitué d'un nombre fini de carrés	22
4.2.1	Principe du maximin	22
4.2.2	Comparaison des valeurs propres	23
4.2.3	Formule pour un quadrillage	24
4.3	Formule pour un domaine quelconque	26
4.3.1	Triangles	26
4.3.2	Approximation au sens fort	28
4.3.3	Bande frontière	30
4.3.4	Formule de Weyl générale	32
5	Applications de la formule, généralisation	34
5.1	Problèmes directs et valeurs propres	34
5.1.1	Problème direct	34
5.1.2	Interprétation des valeurs propres	34
5.2	Problème inverse	35
5.3	Généralisation	36
6	Conclusion	37

Introduction

”Ce théorème ne sera pas prouvé durant mon existence”.

Telle fut la réaction de David Hilbert en octobre 1910 lorsqu’il assista à une conférence de H.A.Lorentz, au cours de laquelle ce dernier émit une conjecture sur le comportement asymptotique des valeurs propres du laplacien sur une surface en deux dimensions. Prédiction qui s’avéra rapidement démentie par un jeune étudiant qui assistait également à la conférence, Hermann Weyl. Il démontra la conjecture de Lorentz en février 1911, soit quatre mois plus tard ! (Source : [Can])

Ce résultat porte désormais le nom de *formule de Weyl* et permet de comprendre le comportement asymptotique des valeurs propres du Laplacien sur un domaine plan borné, admettant un bord lisse. Prouver cette formule est l’objectif de ce mémoire. Il s’agit d’un prolongement intéressant du programme d’analyse fonctionnelle du premier semestre, et constitue également une première approche que je juge pertinente des équations aux dérivées partielles, avec une touche de géométrie.

Dans une première partie, nous allons définir quelques notions essentielles et montrer des résultats utiles pour la suite. Puis, la partie 2 présentera la preuve de la formule dans le cas d’un rectangle. La partie suivante sera consacrée à montrer certaines propriétés des vecteurs et valeurs propres et à prouver des résultats indispensables pour généraliser le cas du rectangle à un domaine quelconque. Généralisation qui fera bien entendu l’objet de la partie 4 du mémoire. L’ultime partie présentera enfin de manière qualitative certaines applications de la formule de Weyl et une généralisation.

Pour rédiger ce mémoire, je me suis principalement basé sur les livres *Partial Differential Equations : an introduction* de W.Strauss ([Str92]) et *Methods of Mathematical Physics (Vol.1)* de R.Courant et D.Hilbert ([CH53]).

Je remercie vivement M. LE FLOCH pour son aide et ses conseils avisés.



FIGURE 1 – Hermann Weyl (1885-1955) - source : Wikipedia

1 Opérateur laplacien et notions connexes

Dans quasiment tout le mémoire, on va travailler en dimension 2, sur des domaines de \mathbb{R}^2 simplement connexes admettant un bord lisse (de classe C^∞) (sauf pour les cas du rectangle et du quadrillage, dont les bords ne sont pas lisses). Avant d'énoncer la formule de Weyl, il est indispensable de définir quelques notions et de donner certaines propriétés.

1.1 Le laplacien

1.1.1 Définition

La notion centrale est celle de *laplacien*.

Définition 1. Opérateur laplacien

- Le laplacien est un opérateur différentiel, noté Δ , qui agit sur une fonction u de plusieurs variables x_1, x_2, \dots, x_n , de classe C^2 , de la manière suivante :

$$\Delta u = \sum_{j=1}^n \frac{\partial^2 u}{\partial^2 x_j},$$

où $\frac{\partial^2}{\partial^2 x_j}$ désigne la dérivée seconde par rapport à la variable x_j .

- Dans le cas $n = 2$ qui va nous intéresser, on a

$$\Delta u(x, y) = \frac{\partial^2 u}{\partial^2 x}(x, y) + \frac{\partial^2 u}{\partial^2 y}(x, y).$$

Remarque : (à titre culturel, ne servira pas par la suite)

Il représente en dimension ≥ 2 ce qu'est la dérivée seconde en dimension 1. Calculé en un point (x, y) de l'espace, il donne la concavité d'un champ scalaire en ce point :

- si $\Delta u(x, y) < 0$ alors la valeur de $u(x, y)$ est supérieure à la moyenne des valeurs prises par u autour de (x, y) ;
- si $\Delta u(x, y) = 0$ alors la valeur de $u(x, y)$ est égale à la moyenne des valeurs prises par u autour de (x, y) ;
- si $\Delta u(x, y) > 0$ alors la valeur de $u(x, y)$ est inférieure à la moyenne des valeurs prises par u autour de (x, y) .

Si en tout point de l'espace, $\Delta u(x, y) = 0$, u est dite *harmonique*.

Définition 2. Gradient et divergence

- Le gradient est un opérateur différentiel, noté ∇ , qui agit sur une fonction u de plusieurs variables x_1, x_2, \dots, x_n , de classe C^1 , de la manière suivante :

$$\nabla u = \left(\frac{\partial u}{\partial x_1}, \frac{\partial u}{\partial x_2}, \dots, \frac{\partial u}{\partial x_n} \right),$$

où $\frac{\partial}{\partial x_j}$ désigne la dérivée première par rapport à la variable x_j .

- La divergence, notée div ou $\vec{\nabla}$ agit sur un vecteur :

$$\operatorname{div} (u_1, u_2, \dots, u_n) = \sum_{j=1}^n \frac{\partial u_j}{\partial x_j}.$$

Remarque :

On a donc une définition alternative du laplacien :

$$\Delta u = \operatorname{div}(\nabla u).$$

1.1.2 Les conditions de Dirichlet et de Neumann

On va s'intéresser à un domaine plan borné, qui admet donc un bord, que l'on suppose suffisamment régulier. On va introduire à présent les conditions de bord avec lesquelles on va travailler tout au long du mémoire.

Soit Ω un tel domaine. On note son bord $\partial\Omega$.

Sauf mention du contraire, les fonctions considérées sont dans $L^2(\Omega)$.

Définition 3. Condition de Dirichlet

On dit qu'une fonction u définie sur Ω est soumise à la condition de Dirichlet au bord de Ω si u est identiquement nulle sur le bord : $u|_{\partial\Omega} = 0$.

Définition 4. Dérivée selon un vecteur normal au bord

Soit η un vecteur normal au bord $\partial\Omega$. Pour une fonction de classe C^1 , on définit la dérivée directionnelle selon η , notée $\frac{\partial u}{\partial \eta}$ par :

$$\frac{\partial u}{\partial \eta} = \eta \cdot \nabla u,$$

où \cdot désigne le produit scalaire.

Définition 5. Condition de Neumann

Soit η un vecteur normal au bord $\partial\Omega$. On dit qu'une fonction u définie et de classe C^1 sur Ω est soumise à la condition de Neumann au bord de Ω si sa dérivée par rapport à η est identiquement nulle sur le bord : $\left(\frac{\partial u}{\partial \eta}\right)|_{\partial\Omega} = 0$.

Remarque : On appelle parfois la condition de Neumann la condition "libre".

1.1.3 Équation fondamentale

L'équation aux dérivées partielles qui va nous occuper pendant ce mémoire est, pour $u : \Omega \rightarrow \mathbb{R}$ de classe C^2 sur Ω et $\lambda \in \mathbb{R}$ à priori :

$$-\Delta u = \lambda u. \tag{1}$$

On associe à cette équation sur Ω une condition de bord qui sera une de celles présentées au dessus : *Dirichlet* ou *Neumann*.

Les scalaires λ qui vérifient cette équation sont appelés *valeurs propres*. Les fonctions $u \neq 0$ associées sont appelées *vecteurs propres*. $-\Delta$ possède une suite *infinie* de valeurs propres qui vérifie :

$$0 \leq \lambda_1 \leq \lambda_2 \leq \dots \leq \lambda_n \leq \dots$$

La positivité sera prouvée dans la partie 1.2. et on trouvera des détails dans le chapitre III de [CH53].

Une autre particularité de cette équation $\Delta u + \lambda u = 0$ est qu'elle est *elliptique*. Il serait trop long et complexe de développer ceci ici, on va se contenter du résultat de *régularité elliptique* suivant : *Les solutions de (1) sont de classe C^∞ .*

Ce résultat sera utile à plusieurs reprises. On pourra consulter le chapitre 8 de [GT83] pour plus de détails.

1.2 Formules de Green et conséquences

Soit Ω un domaine comme à la partie précédente. η est ici un vecteur normal au bord $\partial\Omega$ unitaire.

1.2.1 Les formules de Green

Note : Habituellement, les résultats suivants sont énoncés en dimension 3. Il sont cependant valables en toute dimension, ils sont donc présentés ici en dimension 2 (c'est ce qui va servir dans la suite).

Définition 6. Soit \mathcal{C} une courbe de \mathbb{R}^2 paramétrée par $c : [a, b] \mapsto \mathcal{C}$ de classe C^1 avec $[a, b]$ intervalle de \mathbb{R} . Si f est un champ de vecteurs défini sur un ouvert contenant $c([a, b])$, on a :

$$\int_{\mathcal{C}} f dS := \int_a^b f(c(t)) \cdot c'(t) dt.$$

Lemme 1. Théorème de la divergence (Green-Ostrogradski) (admis)

Soit F un champ de vecteurs de classe C^1 sur Ω . Alors :

$$\iint_{\Omega} \operatorname{div}(F) dx dy = \int_{\partial\Omega} F \cdot \eta dS.$$

Lemme 2. Première formule de Green

Soient u et v deux fonctions de (x, y) définies et de classe C^2 sur Ω . Alors :

$$\int_{\partial\Omega} v \frac{\partial u}{\partial \eta} dS = \iint_{\Omega} \nabla v \cdot \nabla u dx dy + \iint_{\Omega} v \Delta u dx dy.$$

Preuve :

$$\frac{\partial}{\partial x} \left(v \frac{\partial u}{\partial x} \right) = \frac{\partial v}{\partial x} \frac{\partial u}{\partial x} + v \frac{\partial^2 u}{\partial x^2} \text{ et } \frac{\partial}{\partial y} \left(v \frac{\partial u}{\partial y} \right) = \frac{\partial v}{\partial y} \frac{\partial u}{\partial y} + v \frac{\partial^2 u}{\partial y^2}, \text{ d'où :}$$

$$\frac{\partial}{\partial x} \left(v \frac{\partial u}{\partial x} \right) + \frac{\partial}{\partial y} \left(v \frac{\partial u}{\partial y} \right) = \frac{\partial v}{\partial x} \frac{\partial u}{\partial x} + v \frac{\partial^2 u}{\partial x^2} + \frac{\partial v}{\partial y} \frac{\partial u}{\partial y} + v \frac{\partial^2 u}{\partial y^2}$$

$$\iff \operatorname{div}(v \nabla u) = \nabla v \cdot \nabla u + v \Delta u.$$

En intégrant, on obtient :

$$\iint_{\Omega} \operatorname{div}(v \nabla u) = \iint_{\Omega} \nabla v \cdot \nabla u + \iint_{\Omega} v \Delta u.$$

Par le théorème de la divergence, le membre de gauche devient :

$$\iint_{\Omega} \operatorname{div}(v \nabla u) = \int_{\partial \Omega} v \nabla u \cdot \eta dS = \int_{\partial \Omega} v \frac{\partial u}{\partial \eta} dS,$$

ce qui prouve le lemme 2. □

Lemme 3. Deuxième formule de Green

Soient u et v deux fonctions de (x, y) définies et de classe C^2 sur Ω . Alors :

$$\iint_{\Omega} (u \Delta v - v \Delta u) dx dy = \int_{\partial \Omega} \left(u \frac{\partial v}{\partial \eta} - v \frac{\partial u}{\partial \eta} \right) dS.$$

Preuve : Par le lemme 2, on a :

$$\int_{\partial \Omega} v \frac{\partial u}{\partial \eta} dS = \iint_{\Omega} \nabla v \cdot \nabla u dx dy + \iint_{\Omega} v \Delta u dx dy.$$

La formule étant clairement symétrique en u et v , on a aussi :

$$\int_{\partial \Omega} u \frac{\partial v}{\partial \eta} dS = \iint_{\Omega} \nabla v \cdot \nabla u dx dy + \iint_{\Omega} u \Delta v dx dy.$$

Il suffit alors de soustraire membre à membre ces deux égalités pour obtenir le résultat. □

1.2.2 Conséquences pour le laplacien

Les formules de Green ont deux conséquences intéressantes concernant le laplacien :

Proposition 1.2.1. *Pour deux fonctions $u, v \in C^2(\Omega)$ avec les conditions de Dirichlet ou de Neumann au bord, on a :*

$$\langle \Delta u, v \rangle = \langle u, \Delta v \rangle .$$

Preuve : Soient u et $v \in C^2(\Omega)$. En appliquant la première formule de Green :

$$\langle \Delta u, v \rangle = \iint_{\Omega} (\Delta u) v = \int_{\partial \Omega} v \frac{\partial u}{\partial \eta} - \iint_{\Omega} \nabla v \cdot \nabla u.$$

Or, pour la condition de Dirichlet ou celle de Neumann, on a $\int_{\partial \Omega} v \frac{\partial u}{\partial \eta} = 0$, d'où :

$$\iint_{\Omega} (\Delta u) v = \iint_{\Omega} \nabla v \cdot \nabla u = \iint_{\Omega} (\Delta v) u = \langle u, \Delta v \rangle .$$

□

Corollaire 1. *Les vecteurs propres de $-\Delta$ sur Ω avec les conditions de Dirichlet ou de Neumann sont orthogonaux.*

Preuve : Soient u_n et u_p deux vecteurs propres distincts de $-\Delta$ sur Ω .

$$\begin{aligned} \langle -\Delta u_n, u_p \rangle &= -\lambda_n \langle u_n, u_p \rangle \\ \langle -\Delta u_n, u_p \rangle &= \langle u_n, -\Delta u_p \rangle, \end{aligned}$$

d'où :

$$(\lambda_n - \lambda_p) \langle u_n, u_p \rangle = 0 \implies \langle u_n, u_p \rangle = 0.$$

□

On peut maintenant aussi démontrer la **positivité des valeurs propres**, évoquée dans la sous-partie (1.1.3).

Soit λ une valeur propre du Laplacien sur Ω (avec Dirichlet ou Neumann) et u le vecteur propre associé. Alors :

$$\begin{aligned} \lambda \iint_{\Omega} u^2 dx dy &= - \iint_{\Omega} u(\Delta u) dx dy \\ &= \iint_{\Omega} |\nabla u|^2 dx dy - \int_{\partial\Omega} u \frac{\partial u}{\partial \eta} dS \\ &= \iint_{\Omega} |\nabla u|^2 dx dy \geq 0, \end{aligned}$$

ce qui prouve que $\lambda \geq 0$.

On peut en déduire, dans le cas de Dirichlet, que $\lambda > 0$. En effet, si $\iint_{\Omega} |\nabla u|^2 dx dy = 0$, alors $|\nabla u| = 0$ et donc u serait constante sur Ω , donc égale à 0 à cause de la condition de Dirichlet. u ne serait donc pas un vecteur propre.

1.3 La formule de Weyl

Il est temps à présent d'énoncer la *formule de Weyl*, qui sera démontrée tout au long de ce mémoire.

Théorème 1.3.1. Formule de Weyl

Soit Ω un domaine plan borné de \mathbb{R}^2 , d'aire $\mathcal{A}(\Omega)$, et $n \in \mathbb{N}$. On note λ_n les valeurs propres de $-\Delta$ sur Ω avec les conditions au bord de Dirichlet ou de Neumann.

Alors :

$$\frac{\lambda_n}{n} \xrightarrow{n \rightarrow \infty} \frac{4\pi}{\mathcal{A}(\Omega)}.$$

Soit $\lambda \in \mathbb{R}$. On note $N(\lambda)$ le nombre de valeurs propres inférieures ou égales à λ . Alors le théorème se reformule de la manière suivante :

$$\frac{N(\lambda)}{\lambda} \xrightarrow{\lambda \rightarrow \infty} \frac{\mathcal{A}(\Omega)}{4\pi}.$$

2 Formule pour un rectangle

Tout d'abord, on va montrer la formule sur un domaine simple : un rectangle de \mathbb{R}^2 (un rectangle n'admet évidemment pas un bord lisse, mais on verra que dans ce cas particulier cela ne pose pas de problème).

2.1 Valeurs propres et vecteurs propres

Afin de trouver les valeurs propres et les vecteurs propres du laplacien, on va résoudre l'équation aux dérivées partielles

$$-\Delta u = \lambda u$$

sur un rectangle $R \subset \mathbb{R}^2$, de côtés $a > 0$ et $b > 0$, avec les conditions aux bords de Dirichlet : $u|_{\partial R} = 0$.

Plus précisément, on cherche à résoudre

$$[\text{label} = *] -\Delta u(x, y) = \lambda u(x, y) \quad (2)$$

avec $(x, y) \in R = [0, a] \times [0, b] \subset \mathbb{R}^{*2}$, $\lambda \in \mathbb{R}$. On a donc :

$$-\frac{\partial^2 u(x, y)}{\partial x^2} - \frac{\partial^2 u(x, y)}{\partial y^2} = \lambda u(x, y). \quad (3)$$

On suppose qu'il existe $X : [0, a] \rightarrow \mathbb{R}$ et $Y : [0, b] \rightarrow \mathbb{R}$ non nulles telles que $u(x, y) = X(x)Y(y)$. (2) se réécrit donc :

$$\begin{aligned} -\frac{\partial^2 X(x)Y(y)}{\partial x^2} - \frac{\partial^2 X(x)Y(y)}{\partial y^2} &= \lambda X(x)Y(y) \\ \iff -Y(y)X''(x) - X(x)Y''(y) &= \lambda X(x)Y(y) \end{aligned}$$

D'où, en divisant par $X(x)Y(y)$:

$$\frac{X''}{X} + \frac{Y''}{Y} = -\lambda \quad (4)$$

avec les conditions aux bords $X(0) = X(a) = Y(0) = Y(b) = 0$.

On constate que les fonctions

$$X(x) = \sin(\alpha x), \quad \alpha \in \mathbb{R}$$

$$Y(y) = \sin(\beta y), \quad \beta \in \mathbb{R}$$

satisfont pleinement (3).

Avec les conditions aux bords, on a $\sin(\alpha a) = \sin(\beta b) = 0$, d'où $\alpha = \frac{l\pi}{a}$ et $\beta = \frac{m\pi}{b}$, avec l, m entiers naturels strictement positifs.

On a alors, pour $l, m \in \mathbb{N}^*$:

$$X(x) = \sin\left(\frac{l\pi}{a}x\right),$$

$$Y(y) = \sin\left(\frac{m\pi}{b}y\right).$$

On en déduit λ en injectant ces expressions dans l'équation (3) :

$$(2) \iff \frac{-\frac{\pi^2 l^2}{a^2} \sin\left(\frac{x\pi l}{a}\right)}{\sin\left(\frac{\pi l}{a}\right)} - \frac{\frac{\pi^2 m^2}{b^2} \sin\left(\frac{y\pi m}{b}\right)}{\sin\left(\frac{\pi m}{b}\right)} = -\lambda$$

d'où :

$$\lambda = \pi^2 \left(\frac{l^2}{a^2} + \frac{m^2}{b^2} \right).$$

On a bel et bien obtenu *tous* les vecteurs propres de cette manière. En effet, les fonctions $\sin\left(\frac{l\pi}{a}x\right)\sin\left(\frac{m\pi}{b}y\right)$ forment un système orthogonal dense dans $C_0(R)$ (fonctions continues sur R s'annulant au bord).

Si l'on avait d'une part un autre vecteur propre correspondant à une nouvelle valeur propre, il serait orthogonal à chaque vecteur propre déjà trouvé. D'autre part, si il correspondait à une des valeurs propres, disons λ_j , on pourrait soustraire une combinaison linéaire de vecteurs propres associés à λ_j et ainsi obtenir un vecteur propre orthogonal à ces vecteurs propres (et donc à tous). Par conséquent, il serait orthogonal au système dense donné par les produits de sinus ; tout nouveau vecteur propre *doit* donc être identiquement *nul*. On a donc montré le résultat suivant :

Proposition 2.1.1. *Sur un rectangle $R = [0, a] \times [0, b] \subset \mathbb{R}^2$, avec aux bords les conditions de Dirichlet $u|_{\partial R} = 0$, les valeurs propres du laplacien sont données par :*

$$\lambda = \pi^2 \left(\frac{l^2}{a^2} + \frac{m^2}{b^2} \right)$$

et les vecteurs propres associés sont :

$$u(x, y) = \sin\left(\frac{l\pi}{a}x\right)\sin\left(\frac{m\pi}{b}y\right)$$

pour l, m entiers naturels strictement positifs.

Si, au lieu de considérer les conditions aux bords de Dirichlet, on avait les conditions de Neumann : $\frac{\partial u}{\partial n}|_{\partial R} = 0$ (on pourrait avoir un problème aux quatre "coins" du rectangle, puisque η n'y est pas défini, mais en fait non, car $\frac{\partial u}{\partial n}(x, 0) = \frac{\partial u}{\partial n}(0, y) = \frac{\partial u}{\partial n}(x, b) = \frac{\partial u}{\partial n}(a, y) = 0$), un calcul analogue donne les mêmes valeurs propres $\lambda = \pi^2\left(\frac{l^2}{a^2} + \frac{m^2}{b^2}\right)$, mais associées aux vecteurs propres $u(x, y) = \cos\left(\frac{l\pi}{a}x\right)\cos\left(\frac{m\pi}{b}y\right)$. La seule différence notable, en plus d'avoir des cosinus au lieu des sinus, est que l et m sont des entiers naturels quelconques.

En effet, si on prend à nouveau $l = m = 0$, on a $X'' = -Y'' = 0$. D'où en particulier $X'' = 0 \Rightarrow X(x) = cx + d$, $Y(y) = c'y + d'$, pour $c, c', d, d' \in \mathbb{R}$. Les conditions de Neumann aux bords donnent $c = c' = 0$ et d, d' quelconques. Donc si $l = m = 0$, on a bien un vecteur propre non nul.

2.2 Comportement asymptotique des valeurs propres sur le rectangle

Dans cette partie, on va établir la formule de Weyl dans le cas particulier d'un rectangle $R = [0, a] \times [0, b] \subset \mathbb{R}^{*2}$, en considérant successivement les conditions de Dirichlet, puis de Neumann.

2.2.1 Avec les conditions de Dirichlet

Dans cette sous-partie, on considère l'équation (1) avec les conditions aux bords de Dirichlet : $u|_{\partial R} = 0$. On range les valeurs propres du laplacien, telles que calculées à la partie (2.1) par ordre croissant :

$$0 < \lambda_1 \leq \lambda_2 \leq \dots \leq \lambda_n \leq \dots$$

On a alors :

Théorème 2.2.1. *Soit λ_n la $n^{\text{ème}}$ valeur propre du laplacien, avec les conditions au bord de Dirichlet. Dans ce cas :*

$$\lim_{n \rightarrow \infty} \left(\frac{\lambda_n}{n} \right) = \frac{4\pi}{ab}.$$

Preuve :

Tout d'abord, introduisons la fonction N qui à un réel positif λ associe $N(\lambda)$ le nombre de valeurs propres inférieures à λ . $N(\lambda) = \text{card} \{k \in \mathbb{N}, \lambda_k \leq \lambda\}$. Soient λ un réel positif et $\lambda_{l,m}$ une valeur propre. Il existe alors $l, m > 0$ entiers tels que $\lambda_{l,m} = \pi^2 \left(\frac{l^2}{a^2} + \frac{m^2}{b^2} \right)$. On va chercher à évaluer $N(\lambda)$.

Supposons que $\lambda_{l,m} \leq \lambda$. Alors :

$$\left(\frac{l^2}{a^2} + \frac{m^2}{b^2} \right) \leq \frac{\lambda}{\pi^2}.$$

Les $\lambda_{l,m}$ recherchés correspondent donc aux points à coordonnées entières situés dans le quadrant $x > 0, y > 0$ de l'ellipse d'équation $\left(\frac{x^2}{a^2} + \frac{y^2}{b^2} \right) = \frac{\lambda}{\pi^2}$. Par commodité, on va noter ce quadrant ϵ^{++} . L'aire de ce quadrant est donnée par : $A(\epsilon^{++}) = \frac{\lambda ab}{4\pi}$.

Puis, on considère chaque point à coordonnées entières comme étant le sommet haut droit d'un carré de côté 1 (et donc d'aire 1). On obtient une majoration immédiate de $N(\lambda)$ (voir figure 1 ci après) :

$$N(\lambda) \leq A(\epsilon^{++})$$

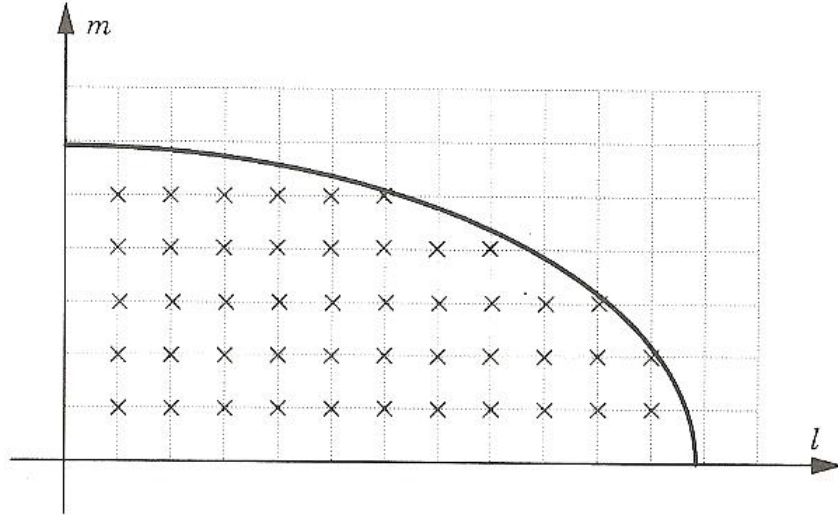


FIGURE 2 – Points à coordonnées entières à l'intérieur de l'ellipse (Dirichlet) - source : [Str92, Figure 1, chap. 11]

Pour λ assez grand, la différence entre $N(\lambda)$ et $A(\epsilon^{++})$ est de l'ordre du périmètre, ie de l'ordre de $C\sqrt{\lambda}$, $C \in \mathbb{R}_+$. En effet, cette différence coïncide avec l'aire comprise entre le bord de l'ellipse et le système de carrés de côté 1 qui recouvrent cette zone.

Plus précisément :

$$\begin{aligned} \frac{\lambda ab}{4\pi} - C\sqrt{\lambda} &\leq N(\lambda) \leq \frac{\lambda ab}{4\pi} \\ \Leftrightarrow \frac{ab}{4\pi} - \frac{C\sqrt{\lambda}}{\lambda} &\leq \frac{N(\lambda)}{\lambda} \leq \frac{ab}{4\pi} \\ \Rightarrow \lim_{\lambda \rightarrow \infty} \left(\frac{N(\lambda)}{\lambda} \right) &= \frac{ab}{4\pi} \end{aligned}$$

En substituant la $n^{\text{ème}}$ valeur propre λ_n à λ , on a $N(\lambda) = n$, d'où :

$$\lim_{n \rightarrow \infty} \left(\frac{\lambda_n}{n} \right) = \frac{4\pi}{ab},$$

ce qui est le résultat du théorème 1. □

Remarque : Pour être tout à fait précis, on peut écrire l'égalité suivante :

$$N(\lambda) = \frac{ab}{4\pi} + \theta_1 c_1 \sqrt{\lambda},$$

avec c_1 constante indépendante de λ , et $|\theta_1| < 1$.

2.2.2 Avec les conditions de Neumann

Dans cette sous-partie, on considère l'équation (1) avec les conditions aux bords de Neumann : $\partial u|_{\partial R} = 0$. On va montrer que le comportement asymptotique des valeurs propres établi au théorème 1 pour les conditions de Dirichlet reste le même avec les conditions de Neumann.

On range à nouveau les valeurs propres du laplacien, telles que calculées à la partie (2.1) par ordre croissant :

$$0 \leq \lambda_1 \leq \lambda_2 \leq \dots \leq \lambda_n \leq \dots$$

On a alors :

Théorème 2.2.2. *Soit λ_n la $n^{\text{ème}}$ valeur propre du laplacien, avec les conditions au bord de Neumann. Dans ce cas :*

$$\lim_{n \rightarrow \infty} \left(\frac{\lambda_n}{n} \right) = \frac{4\pi}{ab}.$$

Preuve :

Reprenons comme précédemment la fonction N qui à un réel positif λ associe $N(\lambda)$ le nombre de valeurs propres inférieures à λ . Soient λ un réel positif et $\lambda_{l,m}$ une valeur propre. Il existe alors $l, m \geq 0$ entiers tels que $\lambda_{l,m} = \pi^2 \left(\frac{l^2}{a^2} + \frac{m^2}{b^2} \right)$. Supposons que $\lambda_{l,m} \leq \lambda$.

Les $\lambda_{l,m}$ recherchés correspondent donc aux points à coordonnées entières situés dans le quadrant $x \geq 0, y \geq 0$ de l'ellipse d'équation $\left(\frac{x^2}{a^2} + \frac{y^2}{b^2} \right) = \frac{\lambda}{\pi^2}$, qui sera à nouveau noté ϵ^{++} . On remarquera que désormais, on doit comptabiliser les points situés sur les axes, contrairement au cas précédent.

On considère donc chaque point à coordonnées entières comme étant le sommet bas gauche d'un carré de côté 1 (et donc d'aire 1). On obtient alors une minoration immédiate de $N(\lambda)$:

$$N(\lambda) \geq A(\epsilon^{++})$$

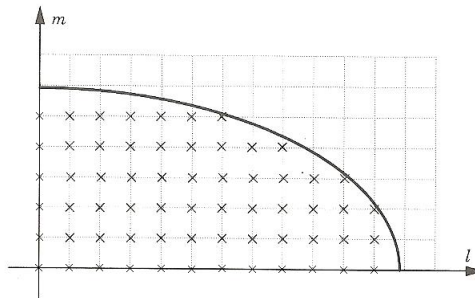


FIGURE 3 – Points à coordonnées entières à l'intérieur de l'ellipse (Neumann) - adapté de [Str92, Figure 1, chap. 11]

En ajoutant le périmètre pour les mêmes raisons que la preuve précédente, on obtient l'encadrement suivant :

$$\frac{\lambda ab}{4\pi} \leq N(\lambda) \leq \frac{\lambda ab}{4\pi} + C\sqrt{\lambda}$$

D'où finalement :

$$\lim_{\lambda \rightarrow \infty} \left(\frac{N(\lambda)}{\lambda} \right) = \frac{ab}{4\pi}$$

En substituant la $n^{\text{ème}}$ valeur propre λ_n à λ , on a $N(\lambda) = n$, d'où :

$$\lim_{n \rightarrow \infty} \left(\frac{\lambda_n}{n} \right) = \frac{4\pi}{ab},$$

ce qui est le résultat du théorème 2. □

Remarque : Comme avant, on peut être plus précis, en écrivant :

$$N(\lambda) = \frac{ab}{4\pi} + \theta_2 c_2 \sqrt{\lambda},$$

avec c_2 constante indépendante de λ , et $|\theta_2| < 1$.

On a donc démontré la formule de Weyl dans le cas particulier d'un domaine rectangulaire, pour les conditions aux bords de Dirichlet et de Neumann. La preuve de la formule pour un domaine quelconque s'obtient en exploitant massivement ce qui a été obtenu pour un rectangle. Pour ce faire, il est indispensable de démontrer au préalable certains résultats. C'est l'objet de la partie suivante.

3 Propriétés des valeurs et vecteurs propres

Dans cette partie, on va montrer un certain nombre de résultats qui vont être exploités dans la suite pour déduire la formule de Weyl pour un domaine quelconque à partir de ce qui a été établi pour le rectangle dans la partie précédente. On considère dans toute cette partie l'équation $-\Delta u = \lambda u$ sur D domaine plan borné arbitraire, de bord lisse.

3.1 Les valeurs propres vues comme minimum du quotient de Rayleigh

3.1.1 Principe du minimum pour la première valeur propre

Définition 7. Espaces de fonctions tests

Soit D un domaine plan borné arbitraire, de bord lisse.

1. On dit que $\omega : D \rightarrow \mathbb{R}^2$, $\omega \neq 0$, est une fonction test pour les conditions de Dirichlet si ω est de classe C^2 sur D et vérifie $\omega|_{\partial D} = 0$. On notera l'espace de toutes ces fonctions $\mathcal{T}_0(D)$.
2. On dit que $\omega' : D \rightarrow \mathbb{R}^2$, $\omega' \neq 0$, est une fonction test pour les conditions de Neumann si ω' est de classe C^2 sur D . On notera l'espace de toutes ces fonctions $\mathcal{T}(D)$.

Définition 8. Quotient de Rayleigh

Soit D un domaine plan borné arbitraire. Soit $\omega \in \mathcal{T}_0(D)$ (ou bien $\mathcal{T}(D)$). Le quotient de Rayleigh Q est défini par :

$$Q = \frac{\|\nabla\omega\|^2}{\|\omega\|^2},$$

où ∇ désigne le gradient de ω et $\|\cdot\|$ la norme 2.

Il est également possible de calculer le quotient de Rayleigh en ne considérant que des fonctions ω de norme 1, ce qui dispense d'écrire un dénominateur.

On va dans un premier temps considérer le problème de minimisation, pour $\omega \in \mathcal{T}_0(D)$,

$$m = \min(Q(\omega)). \tag{5}$$

On admet que ce minimum existe.

C'est donc le cas de Dirichlet qui est traité ci-après. On verra plus loin que les mêmes résultats sont valables pour la cas de Neumann également.

On ordonne les valeurs propres de $-\Delta$ sur D par ordre croissant $0 < \lambda_1 \leq \lambda_2 \leq \dots \leq \lambda_n \leq \dots$

Théorème 3.1.1. Principe du minimum pour la première valeur propre

Soit $u \in \mathcal{T}_0(D)$ réalisant le minimum (5), autrement dit $m = \frac{\|\nabla u\|^2}{\|u\|^2}$.

Alors :

$$\lambda_1 = m.$$

Ce théorème dit deux choses : d'abord que m est effectivement une valeur propre, et que de plus c'est la plus petite.

Preuve :

Notons $m = \min(Q(\omega))$ et soit $u \in \mathcal{T}_0(D)$ réalisant ce minimum. On *admet* que ce minimum est effectivement atteint. On pourra se référer à [Cia] (chap.1) pour les détails.

On a donc, $\forall \omega \in \mathcal{T}_0(D)$,

$$m = \frac{\iint_D |\nabla u|^2 dx dy}{\iint_D |u|^2 dx dy} \leq \frac{\iint_D |\nabla \omega|^2 dx dy}{\iint_D |\omega|^2 dx dy}.$$

Soient maintenant $v \in \mathcal{T}_0(D)$, $v \neq u$, et $\varepsilon \in \mathbb{R}$.

Posons $\omega = u + \varepsilon v$, et par souci de lisibilité, notons $f \dots := \iint_D \dots dx dy$.

Enfin notons

$$f(\varepsilon) = \frac{f |\nabla(u + \varepsilon v)|^2}{f |u + \varepsilon v|^2}.$$

f est dérivable par rapport à ε au voisinage de 0 : le dénominateur est non nul pour $\varepsilon = 0$ et on a un quotient de deux expressions polynomiales en ε . f admet un minimum pour $\varepsilon = 0$, donc $f'(0) = 0$. En développant l'expression de f , on obtient :

$$f(\varepsilon) = \frac{f(|\nabla u|^2 + 2\varepsilon \nabla u \cdot \nabla v + \varepsilon^2 |\nabla v|^2)}{f u^2 + 2\varepsilon uv + \varepsilon^2 v^2}.$$

En dérivant par rapport à ε et en évaluant en 0, on obtient :

$$0 = \frac{2(f u^2)(f \nabla u \cdot \nabla v) - 2(f |\nabla u|^2)(f uv)}{(f u^2)^2}.$$

Par conséquent :

$$\int \nabla u \cdot \nabla v = \frac{f |\nabla u|^2}{f u^2} \times \int uv = m \int uv.$$

En exploitant la première identité de Green et le fait que $v|_{\partial D} = 0$, on a :

$$\begin{aligned} \int \nabla u \cdot \nabla v + \int v \Delta u &= 0 \\ \Rightarrow m \int uv + \int v \Delta u &= 0 \\ \Rightarrow \iint_D (mu + \Delta u)v dx dy &= 0. \end{aligned}$$

Comme la relation ci dessus est vraie $\forall v \in \mathcal{T}_0(D)$, on en déduit que $\Delta u + mu = 0$ sur D . En effet, soit on choisit v de telle sorte à approcher le signe de $\Delta u + mu$, et on se retrouve alors avec l'intégrale d'une fonction positive, soit on choisit v approchant l'indicatrice de D' , avec D' sous-domaine de D . On conclut alors avec un résultat disant que si l'intégrale d'une fonction est nulle sur tout sous-domaine de D , alors la fonction est la fonction nulle sur D . (voir appendice A.1 de [Str92]). m est donc une valeur propre de $-\Delta$ sur D et u est le vecteur propre associé.

Il reste à vérifier que $m = \lambda_1$. Soient λ_j une valeur propre et v_j le vecteur propre associé. Par définition de m ,

$$m \leq \frac{f |\nabla v_j|^2}{f v_j^2} = \frac{f(-\Delta v_j)v_j}{f v_j^2},$$

la dernière égalité résultant de la première formule de Green : $f \nabla v_j \cdot \nabla v_j + f v_j \Delta v_j = 0$, donc $f(-\Delta v_j)v_j = f |\nabla v_j|^2$. Donc :

$$m \leq \frac{f(-\Delta v_j)v_j}{\int v_j^2} = \frac{f(\lambda_j v_j)v_j}{\int v_j^2} = \lambda_j.$$

$m \leq \lambda_j \forall j \geq 1$, donc $m = \lambda_1$.

□

3.1.2 Exemples de calcul de la première valeur propre

1. Sur un segment $S = [0, l]$:

On considère $f(x) = x(l - x)$. $f \in \mathcal{T}_0(S)$, espace des fonctions tests pour le segment. On pense à cette fonction car elle doit d'annuler en 0 et en l et être au moins de classe C^2 , et f est la plus simple qui vérifie ces conditions.

$$\frac{\|f'\|^2}{\|f\|^2} = \frac{\int_0^l (l - 2x)^2 dx}{\int_0^l x^2 (l - x)^2 dx} = \frac{10}{l^2}.$$

Or la première valeur propre pour ce problème est $\frac{\pi^2}{l^2} \simeq \frac{9,87}{l^2}$.

On a bien une approximation de la première valeur propre de $-\Delta$ sur S .

2. Sur un carré $D = [0, \pi] \times [0, \pi]$:

On prend $g(x, y) = xy(\pi - x)(\pi - y) \in \mathcal{T}_0(D)$ (pour les mêmes raisons que ci dessus : g doit être C^2 et s'annuler sur les bords).

$$\frac{\|\nabla g\|^2}{\|g\|^2} = \frac{\iint_D y^2 (\pi - y)^2 (\pi - 2x)^2 + x^2 (\pi - x)^2 (\pi - 2y)^2 dx dy}{\iint_D xy (\pi - x) (\pi - y) dx dy} \simeq 2,03.$$

Le calcul précédent a été réalisé avec un logiciel de programmation en langage Python, en utilisant la méthode de Simpson brièvement décrite ci-dessous.

Pour donner une approche numérique de l'intégrale de f , on utilise l'approximation suivante :

$$\int_a^b f(x) dx \simeq \sum_{j=1}^n w_j f(x_j).$$

On pose pour $n \geq 3$ impair : $h = \frac{b-a}{n-1}$, $x_j = a + (j-1)h$ pour $j = 1, \dots, n$ et

$$w_1 = w_n = \frac{h}{3}, \quad w_j = \frac{4h}{3} \text{ si } j = 2k, \quad w_j = \frac{2h}{3} \text{ si } j = 2k+1, \quad j = 2, \dots, n-1.$$

(voir code ci-après)

On voit en sortie que Python renvoie environ 2.03. On est censé trouver $\lambda_1 = \pi^2(\frac{1}{\pi^2} + \frac{1}{\pi^2}) = 2$. On a donc de nouveau une assez bonne approximation de λ_1 .

```

1 def simpson(n,a,b):          #n est le nombre de points de quadrature, a et b les bornes de l'intégrale
2
3     h=(b-a)/(n-1)
4     X=[a +(j-1)*h for j in range(1, n+1)]
5     W2=[]                   #W2 liste vide qui sera progressivement remplie avec les wj
6     if n%2==0 or n<3:
7         print("n doit être impair et >2")      #simpson défini pour n impair et >2
8     else:
9         for i in range(int((n-2)/2)):
10            W2=W2+[(4*h/3)]+[(2*h/3)]          #W2 est de longueur n-3, j'utilise ceci pour alterner termes pairs et impairs
11            W=[(h/3)]+W2+[(4*h/3)]+[(h/3)]    #on rajoute les termes d'indice 1, n-1, et n, n-1 étant pair.
12    return(np.array(X),np.array(W))           #simpson retourne X le vecteur des xj, W le vecteur des wj

```

FIGURE 4 – Méthode de Simpson

```

1 def integrale2d(meth,f, a, b, n):      #les entrées sont ici des vecteurs de dim=2
2     (X,W1)=meth[0](n[0],a[0],b[0])
3     (Y,W2)=meth[1](n[1],a[1],b[1])
4     I=0
5     for i in X:
6         for j in Y:
7             I+=W1[np.where(X==i)]*W2[np.where(Y==j)]*f(i,j) #on applique la technique décrite plus haut.
8     return (I)
9     #on retourne la valeur numérique de l'intégrale double
10
11
12
13
14
15
16
17
18
19
20
21
22
23
24
25
26
27
28
29
30
31
32
33
34
35
36
37
38
39
40
41
42
43
44
45
46
47
48
49
50
51
52
53
54
55
56
57
58
59
60
61
62
63
64
65
66
67
68
69
70
71
72
73
74
75
76
77
78
79
80
81
82
83
84
85
86
87
88
89
90
91
92
93
94
95
96
97
98
99
100
101
102
103
104
105
106
107
108
109
110
111
112
113
114
115
116
117
118
119
120
121
122
123
124
125
126
127
128
129
130
131
132
133
134
135
136
137
138
139
140
141
142
143
144
145
146
147
148
149
150
151
152
153
154
155
156
157
158
159
160
161
162
163
164
165
166
167
168
169
170
171
172
173
174
175
176
177
178
179
180
181
182
183
184
185
186
187
188
189
190
191
192
193
194
195
196
197
198
199
200
201
202
203
204
205
206
207
208
209
210
211
212
213
214
215
216
217
218
219
220
221
222
223
224
225
226
227
228
229
230
231
232
233
234
235
236
237
238
239
240
241
242
243
244
245
246
247
248
249
250
251
252
253
254
255
256
257
258
259
260
261
262
263
264
265
266
267
268
269
270
271
272
273
274
275
276
277
278
279
280
281
282
283
284
285
286
287
288
289
290
291
292
293
294
295
296
297
298
299
300
301
302
303
304
305
306
307
308
309
310
311
312
313
314
315
316
317
318
319
320
321
322
323
324
325
326
327
328
329
330
331
332
333
334
335
336
337
338
339
340
341
342
343
344
345
346
347
348
349
350
351
352
353
354
355
356
357
358
359
360
361
362
363
364
365
366
367
368
369
370
371
372
373
374
375
376
377
378
379
380
381
382
383
384
385
386
387
388
389
390
391
392
393
394
395
396
397
398
399
400
401
402
403
404
405
406
407
408
409
410
411
412
413
414
415
416
417
418
419
420
421
422
423
424
425
426
427
428
429
430
431
432
433
434
435
436
437
438
439
440
441
442
443
444
445
446
447
448
449
450
451
452
453
454
455
456
457
458
459
460
461
462
463
464
465
466
467
468
469
470
471
472
473
474
475
476
477
478
479
480
481
482
483
484
485
486
487
488
489
490
491
492
493
494
495
496
497
498
499
500
501
502
503
504
505
506
507
508
509
510
511
512
513
514
515
516
517
518
519
520
521
522
523
524
525
526
527
528
529
530
531
532
533
534
535
536
537
538
539
540
541
542
543
544
545
546
547
548
549
550
551
552
553
554
555
556
557
558
559
560
561
562
563
564
565
566
567
568
569
570
571
572
573
574
575
576
577
578
579
580
581
582
583
584
585
586
587
588
589
590
591
592
593
594
595
596
597
598
599
600
601
602
603
604
605
606
607
608
609
610
611
612
613
614
615
616
617
618
619
620
621
622
623
624
625
626
627
628
629
630
631
632
633
634
635
636
637
638
639
640
641
642
643
644
645
646
647
648
649
650
651
652
653
654
655
656
657
658
659
660
661
662
663
664
665
666
667
668
669
670
671
672
673
674
675
676
677
678
679
680
681
682
683
684
685
686
687
688
689
690
691
692
693
694
695
696
697
698
699
700
701
702
703
704
705
706
707
708
709
710
711
712
713
714
715
716
717
718
719
720
721
722
723
724
725
726
727
728
729
730
731
732
733
734
735
736
737
738
739
740
741
742
743
744
745
746
747
748
749
750
751
752
753
754
755
756
757
758
759
760
761
762
763
764
765
766
767
768
769
770
771
772
773
774
775
776
777
778
779
780
781
782
783
784
785
786
787
788
789
790
791
792
793
794
795
796
797
798
799
800
801
802
803
804
805
806
807
808
809
810
811
812
813
814
815
816
817
818
819
820
821
822
823
824
825
826
827
828
829
830
831
832
833
834
835
836
837
838
839
840
841
842
843
844
845
846
847
848
849
850
851
852
853
854
855
856
857
858
859
860
861
862
863
864
865
866
867
868
869
870
871
872
873
874
875
876
877
878
879
880
881
882
883
884
885
886
887
888
889
890
891
892
893
894
895
896
897
898
899
900
901
902
903
904
905
906
907
908
909
910
911
912
913
914
915
916
917
918
919
920
921
922
923
924
925
926
927
928
929
930
931
932
933
934
935
936
937
938
939
940
941
942
943
944
945
946
947
948
949
950
951
952
953
954
955
956
957
958
959
960
961
962
963
964
965
966
967
968
969
970
971
972
973
974
975
976
977
978
979
980
981
982
983
984
985
986
987
988
989
990
991
992
993
994
995
996
997
998
999
1000

```

FIGURE 5 – Calcul du quotient de Rayleigh

3.1.3 Principe du minimum pour la $n^{\text{ème}}$ valeur propre

On a vu que λ_1 pouvait s'obtenir comme minimum du quotient de Rayleigh. Le théorème suivant montre comment trouver λ_n , $n > 1$.

Théorème 3.1.2. *Principe du minimum pour la $n^{\text{ème}}$ valeur propre*

Soient $0 < \lambda_1 \leq \lambda_2 \leq \dots \leq \lambda_{n-1}$ les $n - 1$ premières valeurs propres, associées aux vecteurs propres v_1, v_2, \dots, v_{n-1} . Sous réserve d'existence du minimum,

$$\lambda_n = \min \left\{ \frac{\|\nabla\omega\|^2}{\|\omega\|^2} \mid \langle \omega, v_i \rangle = 0 \forall i \in [1, n-1] \right\} := m_n$$

Remarque : la condition d'orthogonalité supplémentaire vient du fait, prouvé dans la première partie, que les vecteurs propres sont orthogonaux.

Preuve :

Montrons que m_n est une valeur propre. Soit $u \in \mathcal{T}_0(D)$ réalisant le minimum :

$$m_n = \frac{\|\nabla u\|^2}{\|u\|^2} \leq \frac{\|\nabla\omega\|^2}{\|\omega\|^2}, \forall \omega \in \mathcal{T}_0(D). \text{ L'existence d'un tel } u \text{ est admise.}$$

Comme pour la preuve précédente, notons $\omega = u + \varepsilon v$, avec v sous les mêmes contraintes que u . Alors,

$$\iint_D (m_n u + \Delta u)v \, dx dy = 0, \quad \forall v \in \mathcal{T}_0(D) \quad \text{tel que} \quad \langle v, v_i \rangle = 0 \quad \forall i \leq n-1.$$

Soit v_j , $j \leq n-1$ un vecteur propre. Par la deuxième formule de Green,

$$\iint_D (m_n u + \Delta u)v_j = \iint_D u(\Delta v_j + m_n v_j) = (m_n - \lambda_j) \iint_D u.v_j = 0 \quad \text{car} \quad \langle u, v_j \rangle = 0.$$

Ensuite, soit $h \in \mathcal{T}_0(D)$. Posons $v(x, y) = h(x, y) - \sum_{k=1}^{n-1} c_k v_k(x, y)$, $c_k = \frac{\langle h, v_k \rangle}{\langle v_k, v_k \rangle}$.
Donc, en abrégant, $h = v + \sum c_k v_k$.
On a $\langle v, v_j \rangle = 0 \quad \forall j \leq n-1$; en effet :

$$\begin{aligned} \langle v, v_j \rangle &= \langle h - \sum c_k v_k, v_j \rangle \\ &= \langle h, v_j \rangle - \langle \sum c_k v_k, v_j \rangle \\ &= c_j \|v_j\|^2 - c_j \|v_j\|^2 = 0. \end{aligned}$$

On peut donc choisir ce v dans l'expression $\iint_D (m_n u + \Delta u)v \, dx dy$. Donc :

$$\begin{aligned} \iint_D (m_n u + \Delta u)v \, dx dy = 0 &\Rightarrow \iint_D (m_n u + \Delta u)h \, dx dy = 0 \quad \forall h \in \mathcal{T}_0(D) \\ &\Rightarrow m_n u + \Delta u = 0. \end{aligned}$$

m_n est donc une valeur propre, associée au vecteur propre u . En procédant comme pour la preuve pour λ_1 , on peut montrer que $m_n = \lambda_n$: soit $j > n$. On considère le vecteur propre v_j et la valeur propre λ_j . Par définition de m_n ,

$$m_n \leq \frac{\|\nabla v_j\|^2}{\|v_j\|^2} \leq \frac{\int (-\Delta v_j)v_j}{\int v_j^2} = \frac{\int (\lambda_j v_j)v_j}{\int v_j^2} = \lambda_j.$$

De plus, $m_n \neq \lambda_k$, $k < n$, car le vecteur propre associé u doit être orthogonal aux vecteurs propres associés aux λ_k . Finalement, $m_n = \lambda_n$. \square

3.1.4 Extension aux conditions de Neumann

Jusqu'à présent, on a travaillé avec l'espace $\mathcal{T}_0(D)$. On va étudier ce qui se passe avec les conditions de Neumann, et donc avec l'espace $\mathcal{T}(D)$ défini en 3.1.1.

Proposition 3.1.3. *Avec les conditions de Neumann et en prenant les fonctions tests dans l'espace $\mathcal{T}(D)$, les théorèmes 3.1.1 et 3.1.2 restent valables.*

Preuve :

Pour démontrer les théorèmes 3.1.1 et 3.1.2 pour les conditions de Neumann, on commence par répéter les mêmes étapes que pour les conditions de Dirichlet. Les différences vont arriver lorsque les conditions aux bords vont entrer en jeu. A la fin de la preuve du théorème 3.1.1, on avait :

$$\int \nabla u \cdot \nabla v = m \int uv, \quad \forall v \in \mathcal{T}(D).$$

Par la première formule de Green,

$$\iint_D (mu + \Delta u)v \, dx dy = \int_{\partial D} \frac{\partial u}{\partial n} v \, dS.$$

En prenant v dans $\mathcal{T}_0(D)$, on avait obtenu $\Delta u + mu = 0$. Donc ici, ceci reste vrai sur D privé de son bord. Cependant, par densité, on a $\int_{\partial D} \frac{\partial u}{\partial n} v \, dS = 0, \forall v \in \mathcal{T}(D)$. Comme on n'impose pas de condition au bord ici pour $v \in \mathcal{T}(D)$, on peut choisir, au hasard, $v = \frac{\partial u}{\partial n}$ (valable car en vertu de la régularité elliptique, u solution de $\Delta u + \lambda u = 0$ est de classe C^∞).

Avec ce judicieux choix on se retrouve avec $\int_{\partial D} (\frac{\partial u}{\partial n})^2 \, dS = 0 \Rightarrow \frac{\partial u}{\partial n} = 0$, ce qui correspond exactement à la condition de Neumann!

La preuve du théorème 3.1.2 s'adapte de la même manière. □

3.2 Densité des vecteurs propres

Un résultat intéressant sur les vecteurs propres est donné par le théorème suivant :

Théorème 3.2.1. *Avec les conditions de Dirichlet ou de Neumann, l'espace engendré par tous les vecteurs propres de $-\Delta$ sur un domaine plan D est dense dans $L^2(D)$.*

Plus précisément, en prenant $N \in \mathbb{N}$, v_n un vecteur propre associé à la valeur propre λ_n et en posant $c_n = \frac{\langle f, v_n \rangle}{\langle v_n, v_n \rangle}$, on a, $\forall f \in L^2(D)$:

$$\left\| f - \sum_{n=1}^N c_n v_n \right\|_2 \xrightarrow{N \rightarrow \infty} 0.$$

Preuve :

Preuve réalisée pour f fonction-test. Il est plus difficile de le montrer pour $f \in L^2(D)$ quelconque (c'est cependant vrai : l'idée consiste à approcher les fonctions de L^2 par des fonctions-test ; pour des exemples, voir [Eva]). On commence par f fonction-test pour la condition de Dirichlet. Soit $N \in \mathbb{N}$. Posons

$$r_N(x, y) = f(x, y) - \sum_{n=1}^N c_n v_n(x, y).$$

Soit v_j un vecteur propre ($j \leq n - 1$) Alors :

$$\langle r_N, v_j \rangle = \langle f, v_j \rangle - \sum_{n=1}^N \langle c_n, v_j \rangle = \langle f, v_j \rangle - c_j \langle v_j, v_j \rangle = 0.$$

r_N est donc orthogonale à tous les $v_j, j \leq n - 1$. De plus, r_N satisfait les hypothèses du théorème 3.1.2. On a donc, pour ω fonction-test pour Dirichlet :

$$\lambda_N = \min \frac{\|\nabla \omega\|^2}{\|\omega\|^2} \leq \frac{\|\nabla r_N\|^2}{\|r_N\|^2}.$$

En développant le numérateur du majorant, on trouve :

$$\|\nabla r_N\|^2 = \iint_D \left(|\nabla f|^2 - 2 \sum_{n=0}^N c_n \nabla f \cdot \nabla v_n + \sum_{n,m=0}^N c_n c_m \nabla v_n \cdot \nabla v_m \right).$$

Comme $f = v_n = 0$ sur ∂D et en utilisant la première formule de Green, on a (en simplifiant l'écriture des intégrales) :

$$\int \nabla f \cdot \nabla v_n = - \int f \Delta v_n = \lambda_n \int f v_n \quad (6)$$

et :

$$\int \nabla v_m \cdot \nabla v_n = - \int v_n \Delta v_m = \lambda_n \int v_n^2 \text{ si } n = m, \text{ 0 sinon.} \quad (7)$$

On en déduit :

$$\|\nabla r_N\|^2 = \iint_D \left(|\nabla f|^2 - 2 \sum_{n=0}^N c_n \langle f, v_n \rangle + \sum_{n,m=0}^N \mathbf{1}_{(n=m)} c_n^2 \lambda_n \langle v_n, v_n \rangle \right).$$

Par définition de c_n , on obtient :

$$\|\nabla r_N\|^2 = \iint_D |\nabla f|^2 - \sum_{n=0}^N c_n^2 \lambda_n \langle v_n, v_n \rangle \implies \|\nabla r_N\|^2 \leq \iint_D |\nabla f|^2 = \|\nabla f\|^2.$$

Or, $\lambda_N \leq \frac{\|\nabla r_N\|^2}{\|r_N\|^2}$ et on vient de voir que $\|\nabla r_N\|^2 \leq \|\nabla f\|^2$, on trouve donc :

$$\|r_N\|^2 \leq \frac{\|\nabla r_N\|^2}{\lambda_N} \leq \frac{\|\nabla f\|^2}{\lambda_N} \xrightarrow{N \rightarrow \infty} 0.$$

En effet, $\lambda_N \xrightarrow{N \rightarrow \infty} +\infty$.

On l'a déjà vu dans le cas du rectangle, et on le montrera pour le cas général plus loin (on n'utilise pas ce théorème pour prouver la formule de Weyl, donc on ne tourne pas en rond).

Si f est une fonction-test dans le cas de Neumann, la preuve est la même. L'unique endroit où la condition de bord intervient est au niveau de 6 et 7. Ces deux équations restent vraies pour Neumann, car $\frac{\partial v_j}{\partial \eta} = 0$ sur le bord. □

4 Formule pour un domaine plan quelconque

On a montré dans la partie 2 la formule de Weyl pour un domaine rectangulaire. A l'aide des théorèmes démontrés dans la partie 3, on va maintenant justifier la formule pour un domaine plan arbitraire, de bord lisse. Pour ce faire, on va d'abord démontrer un résultat pour un domaine constitué d'un nombre fini de carrés de même côté, puis on va utiliser ceci pour donner une "bonne" approximation pour un domaine quelconque, dans un sens que l'on définira.

4.1 Espaces de Sobolev

Dans cette partie, on doit considérer des espaces de fonctions test plus généraux que ceux vus auparavant. Les prochaines lignes sont donc consacrées à les définir et à lister les propriétés intéressantes dans le cadre de notre problème. On se limite donc au cas de la dimension 2.

Définition 9. Espace $H^1(\Omega)$

Soit Ω un ouvert de \mathbb{R}^2 . Notons C_c^∞ l'espace des fonctions infiniment dérivables à support compact.

L'espace de Sobolev $H^1(\Omega)$ (ou $W^{1,2}(\Omega)$) est défini, par :

$$H^1(\Omega) =: \left\{ u \in L^2(\Omega) \mid \exists g_1, g_2 \in L^2(\Omega), \int_{\Omega} u \frac{\partial \phi}{\partial x_i} = - \int_{\Omega} g_i \phi, \forall \phi \in C_c^\infty, i = 1, 2 \right\}$$

Définition 10. Espace $H_0^1(\Omega)$

Soit Ω un ouvert de \mathbb{R}^2 . On désigne par $C_c^1(\Omega)$ l'espace des fonctions de classe C^1 à support compact dans Ω .

$$H_0^1(\Omega) = \overline{C_c^1(\Omega)}.$$

Proposition 4.1.1. Propriétés des espaces de Sobolev

1. Muni du produit scalaire

$$\langle u, v \rangle_{H^1} := \langle u, v \rangle_{L^2} + \left\langle \frac{\partial u}{\partial x}, \frac{\partial v}{\partial x} \right\rangle_{L^2} + \left\langle \frac{\partial u}{\partial y}, \frac{\partial v}{\partial y} \right\rangle_{L^2},$$

$H^1(\Omega)$ est un espace de Hilbert séparable.

2. Si u est intégrable sur tout compact de ω , la théorie des distributions permet de donner un sens à $\frac{\partial u}{\partial x}$. Dans ce contexte, $H^1(\Omega)$ peut être vu comme l'ensemble des $u \in L^2(\Omega)$ telles que toutes les dérivées partielles de u sont encore dans $L^2(\Omega)$.

3. Si $u \in H^1$ admet un support compact inclus dans Ω , alors $u \in H_0^1(\Omega)$.

C'est le point 2. qui va être crucial, il permet en effet de considérer ∇ sur $H^1(\Omega)$. On va désormais travailler avec $H^1(\Omega)$ au lieu de $\mathcal{T}(D)$ et $H_0^1(\Omega)$ au lieu de $\mathcal{T}_0(D)$. Ceci permet de donner un sens au gradient pour des fonctions qui ne sont pas de classe C^1 , en considérant plutôt les distributions régulières associées à ses fonctions. Pour plus de détails, on pourra se référer à [Bre83] (chapitre **IX**).

4.2 Domaine constitué d'un nombre fini de carrés

4.2.1 Principe du maximin

Théorème 4.2.1. *Principe du maximin*

Soit n un entier ≥ 2 .

Soient y_1, y_2, \dots, y_{n-1} des fonctions tests arbitraires (pour Dirichlet).

Soit $\lambda_n^* = \min \left(\frac{\|\nabla\omega\|^2}{\|\omega\|^2} \right)$, ω fonction test arbitraire pour Dirichlet telle que $\forall j \leq n-1$, $\langle \omega, y_j \rangle = 0$.

Alors :

$$\lambda_n = \max_{\{y_1, y_2, \dots, y_{n-1}\}} (\lambda_n^*).$$

Preuve :

Soient y_1, y_2, \dots, y_{n-1} des fonctions tests arbitraires (pour Dirichlet). Notons

$$\omega(x, y) = \sum_{j=1}^n c_j v_j(x, y)$$

une combinaison linéaire des n premiers vecteurs propres, choisie pour être orthogonale à y_i , $\forall i \leq n-1$.

Pour ce faire, les constantes c_j doivent satisfaire le système linéaire, pour $k \leq n-1$:

$$0 = \langle \sum_{j=1}^n c_j v_j, y_k \rangle = \sum_{j=1}^n \langle v_j, y_k \rangle c_j.$$

On a donc $n-1$ équations et n inconnues, il existe donc une solution non identiquement nulle.

Puis, par définition, $\lambda_n^* = \min \left\{ \frac{\|\nabla\omega'\|^2}{\|\omega'\|^2}, \langle \omega', y_j \rangle = 0 \forall j \leq n-1 \right\}$, donc :

$$\lambda_n^* \leq \frac{\|\nabla\omega\|^2}{\|\omega\|^2} = \frac{\sum_{j,k}^n c_j c_k \langle -\Delta v_j, v_k \rangle}{\sum_{j,k}^n c_j c_k \langle v_j, v_k \rangle} = \frac{\sum_{j=1}^n \lambda_j c_j^2}{\sum_{j=1}^n c_j^2}.$$

Puisque $\lambda_j \leq \lambda_n$,

$$\frac{\sum_{j=1}^n \lambda_j c_j^2}{\sum_{j=1}^n c_j^2} \leq \frac{\sum_{j=1}^n \lambda_n c_j^2}{\sum_{j=1}^n c_j^2} = \lambda_n,$$

en prenant $\|v_j\| = 1$.

On a donc obtenu $\lambda_n^* \leq \lambda_n \forall \{y_1, \dots, y_{n-1}\}$, donc en particulier $\max \lambda_n^* \leq \lambda_n$. Pour montrer l'égalité, on va choisir judicieusement les y_i .

On prend donc $y_1 = v_1, y_2 = v_2, \dots, y_{n-1} = v_{n-1}$ avec v_j les vecteurs propres de $-\Delta$.

On applique alors le théorème 3.1.2 (on peut l'appliquer, les fonctions v_j étant de classe C^∞ par régularité elliptique) :

$$\lambda_n = \min \frac{\|\nabla\omega\|^2}{\|\omega\|^2} = \lambda_n^*,$$

minimum pris sur ω tel que $\langle \omega, v_i \rangle = 0$, ce qui achève la démonstration. \square

Remarque : La proposition 3.1.3 entraîne que ce théorème est aussi vrai avec les conditions de Neumann, puisque le théorème 3.1.2 que l'on utilise dans la preuve l'est.

Le maximin obéit au principe général suivant : *plus il y a de contraintes sur les fonctions test utilisées, plus la valeur du maximin augmente.*

Notation : A partir d'ici, on notera :

λ_n ou μ_n les valeurs propres pour les conditions de Dirichlet ;
 $\tilde{\lambda}_n$ ou $\tilde{\mu}_n$ les valeurs propres pour les conditions de Neumann.

4.2.2 Comparaison des valeurs propres

Proposition 4.2.2. *Soit Ω un domaine plan borné.*

Avec les notations précédentes, on a :

$$\tilde{\lambda}_n \leq \lambda_n \quad \forall n \geq 1.$$

Preuve :

Par le théorème 3.1.1 et la proposition 3.1.3, on a :

$$\lambda_1 = \min \frac{\|\nabla\omega\|^2}{\|\omega\|^2}, \quad \omega \in H_0^1(\Omega)$$

$$\tilde{\lambda}_1 = \min \frac{\|\nabla\omega'\|^2}{\|\omega'\|^2}, \quad \omega' \in H^1(\Omega).$$

Comme $H_0^1(\Omega) \subset H^1(\Omega)$, on a $\tilde{\lambda}_1 \leq \lambda_1$.

De même, par le théorème 3.1.2 et la proposition 3.1.3, on a $\tilde{\lambda}_n^* \leq \lambda_n^* \quad \forall n \geq 2$.

En appliquant le théorème 4.2.1, on a bien $\tilde{\lambda}_n \leq \lambda_n$.

□

Proposition 4.2.3. *Soient D et D' deux domaines plans bornés tels que $D \subset D'$.*

On note $\tilde{\lambda}_n$ et λ_n les valeurs propres pour Neumann et Dirichlet respectivement sur D et $\tilde{\lambda}'_n$ et λ'_n les valeurs propres pour Neumann et Dirichlet respectivement sur D' .

Alors :

$$\tilde{\lambda}'_n \leq \tilde{\lambda}_n \quad \forall n \geq 1$$

$$\lambda'_n \leq \lambda_n \quad \forall n \geq 1$$

Preuve :

Dans le cas de Dirichlet d'abord :

Par le théorème 4.2.1, $\lambda_n = \max(\lambda_n^*)$.

Soit $\omega \in H_0^1(D)$. On étend ω à D' en définissant ω' comme suit :

$$\omega'(x, y) = \begin{cases} \omega(x, y) & \text{pour } (x, y) \in D; \\ 0 & \text{sinon.} \end{cases}$$

On a bien $\omega' \in H_0^1(D')$. Comme les fonctions test ω' doivent valoir 0 sur $D' \setminus D$, on une contrainte supplémentaire sur elles, donc $\lambda'_n \leq \lambda_n \quad \forall n \geq 1$.

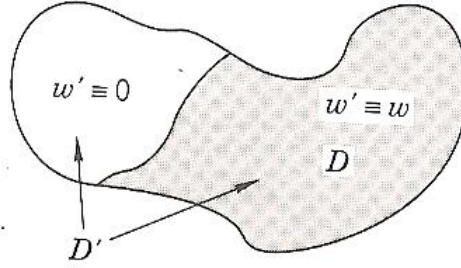


FIGURE 6 – Domaines emboîtés - source : [Str92, Figure 2, chap.11]

Dans le cas de Neumann :

Par le théorème 4.2.1, $\tilde{\lambda}_n = \max(\tilde{\lambda}_n^*)$.

Soit $\tilde{\omega} \in H^1(D)$. On étend $\tilde{\omega}$ à D' en définissant $\tilde{\omega}'$ comme suit :

$$\tilde{\omega}'(x, y) = \begin{cases} \tilde{\omega}(x, y) & \text{pour } (x, y) \in D; \\ 0 & \text{sinon.} \end{cases}$$

On a bien $\tilde{\omega}' \in H^1(D')$. Comme les fonctions test $\tilde{\omega}'$ doivent valoir 0 sur $D' \setminus D$, on a une contrainte supplémentaire sur elles, donc $\tilde{\lambda}'_n \leq \tilde{\lambda}_n \quad \forall n \geq 1$. \square

4.2.3 Formule pour un quadrillage

Soient $m \in \mathbb{N}^*$ et D un tel domaine. $D = \bigcup_{i=1}^m D_i$, chaque D_i étant un carré de côté $a > 0$. On va appeler D "quadrillage".

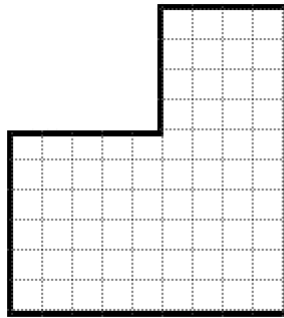


FIGURE 7 – Un exemple de quadrillage

On note :

$\tilde{\lambda}_1 \leq \tilde{\lambda}_2 \leq \dots \leq \tilde{\lambda}_n \leq \dots$ les valeurs propres sur D avec les conditions de Dirichlet ;
 $\tilde{\lambda}_1 \leq \tilde{\lambda}_2 \leq \dots \leq \tilde{\lambda}_n \leq \dots$ les valeurs propres sur D avec les conditions de Neumann.

Chaque domaine D_i possède sa propre suite croissante de valeurs propres. L'idée est de ressembler *toutes* les valeurs propres de *tous* les D_i dans une unique suite croissante :

$\mu_1 \leq \mu_2 \leq \dots \leq \mu_n \leq \dots$ pour Dirichlet ;
 $\tilde{\mu}_1 \leq \tilde{\mu}_2 \leq \dots \leq \tilde{\mu}_n \leq \dots$ pour Neumann.

Proposition 4.2.4. *Avec les notations introduites ci-dessus, on a :*

$$\forall n \in \mathbb{N}^*, \quad \lambda_n \leq \mu_n \quad \text{et} \quad \tilde{\mu}_n \leq \tilde{\lambda}_n$$

Preuve :

Pour Dirichlet, on calcule les valeurs propres en évaluant le minimum du quotient de Rayleigh pris sur des fonctions test qui doivent s'annuler sur ∂D et sur les frontières entre chaque D_i , puis en prenant le maximum comme vu précédemment. La classe de fonctions test autorisées pour les D_i présentant plus de contraintes que celle autorisée pour D , on obtient bien $\lambda_n \leq \mu_n$.

Pour Neumann, on a vu que $\tilde{\mu}_n = \max(\tilde{\mu}_n^*)$, avec $\mu_n^* = \min(\frac{\|\nabla\omega\|^2}{\|\omega\|^2})$, les fonctions test ω en jeu n'étant soumises à aucune condition aux bords. Cependant, elles peuvent être discontinues, ce qui fait qu'il y en a beaucoup plus que celles en jeu pour $\tilde{\lambda}_n$. On obtient bien $\tilde{\mu}_n \leq \tilde{\lambda}_n$. □

En combinant les trois propositions précédentes, il vient directement :

Corollaire 2.

Avec les notations précédentes,

$$\forall n \in \mathbb{N}^*, \quad \tilde{\mu}_n \leq \tilde{\lambda}_n \leq \lambda_n \leq \mu_n.$$

On peut maintenant montrer la formule de Weyl sur un domaine D constitué d'un nombre fini de carrés.

Théorème 4.2.5. Formule de Weyl sur un quadrillage

Notons $\mathcal{A}(D)$ l'aire du domaine D et reprenons les notations de ce paragraphe. Alors :

$$\lim_{n \rightarrow \infty} \left(\frac{\lambda_n}{n} \right) = \frac{4\pi}{\mathcal{A}(D)}$$

et :

$$\lim_{n \rightarrow \infty} \left(\frac{\tilde{\lambda}_n}{n} \right) = \frac{4\pi}{\mathcal{A}(D)}.$$

Preuve :

On avait montré dans la partie 2 que pour un carré de côté a donné, disons D_i , on a la relation $\lim_{n \rightarrow \infty} \left(\frac{\lambda_n}{n} \right) = \frac{4\pi}{a^2}$.

Rappelons nous que dans la démonstration, on avait utilisé la fonction N qui à un réel positif λ associe $N(\lambda)$ le nombre de valeurs propres inférieures à λ . Grâce à cette fonction, on avait obtenu la relation $\lim_{\lambda \rightarrow \infty} \left(\frac{N(\lambda)}{\lambda} \right) = \frac{a^2}{4\pi} = \frac{\mathcal{A}(D_i)}{4\pi}$

Notons N_i cette fonction pour chaque D_i . Introduisons maintenant la fonction M qui à un réel positif λ associe $M(\lambda)$ le nombre de valeurs propres inférieures à λ , mais pour la séquence croissante $\mu_1 \leq \mu_2 \leq \dots \leq \mu_n \leq \dots$ de valeurs propres pour l'ensemble des m petits carrés. $M(\lambda) = \text{card} \{k \in \mathbb{N}, \mu_k \leq \lambda\} = \sum_{i=1}^m N_i(\lambda)$.

Il vient alors :

$$\lim_{\lambda \rightarrow \infty} \left(\frac{M(\lambda)}{\lambda} \right) = \sum_{i=1}^m \lim_{\lambda \rightarrow \infty} \left(\frac{N_i(\lambda)}{\lambda} \right) = \sum_{i=1}^m \frac{\mathcal{A}(D_i)}{4\pi} = \frac{\mathcal{A}(D)}{4\pi}.$$

En substituant la $n^{\text{ème}}$ valeur propre μ_n à λ , on a $M(\lambda) = n$, d'où :

$$\lim_{n \rightarrow \infty} \left(\frac{\mu_n}{n} \right) = \frac{4\pi}{\mathcal{A}(D)}.$$

Pour le cas des valeurs propres de Neumann $\tilde{\mu}_n$, le même argument donne

$$\lim_{n \rightarrow \infty} \left(\frac{\tilde{\mu}_n}{n} \right) = \frac{4\pi}{\mathcal{A}(D)}.$$

En divisant par $n \geq 1$ les inégalités du corollaire 2, on obtient :

$$\frac{\tilde{\mu}_n}{n} \leq \frac{\tilde{\lambda}_n}{n} \leq \frac{\lambda_n}{n} \leq \frac{\mu_n}{n}.$$

Par encadrement, on a bel et bien :

$$\lim_{n \rightarrow \infty} \left(\frac{\lambda_n}{n} \right) = \frac{4\pi}{\mathcal{A}(D)} \quad \text{et} \quad \lim_{n \rightarrow \infty} \left(\frac{\tilde{\lambda}_n}{n} \right) = \frac{4\pi}{\mathcal{A}(D)}.$$

□

4.3 Formule pour un domaine quelconque

Après avoir prouvé la formule pour un quadrillage, on peut déjà approcher n'importe quel domaine quelconque, en l'encadrant entre deux quadrillages. Cependant, on va essayer d'être encore plus précis.

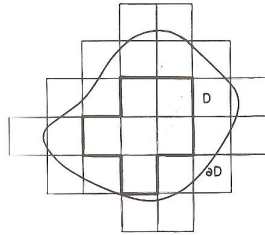


FIGURE 8 – Approximation d'un domaine D par deux quadrillages - source : [Gar86, Figure 41, chap. 11]

4.3.1 Triangles

Triangle rectangle isocèle :

On considère un triangle rectangle isocèle de côté $a > 0$. Ce triangle s'inscrit dans un carré de côté a , dont la diagonale est l'hypoténuse du triangle.

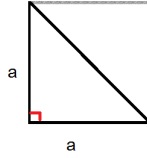


FIGURE 9 – Triangle rectangle isocèle

En effectuant une réflexion par rapport à l'hypoténuse, on constate que chaque fonction propre pour le triangle en est aussi une pour le carré, pour la même condition de bord. En notant μ_n les valeurs propres du triangle et λ_n celles du rectangle, on obtient, en vertu des résultats précédents,

$$\mu_n \geq \lambda_n.$$

En reprenant la fonction N dont on a parlé à plusieurs reprises et avec des notations évidentes, on trouve donc :

$$N_{\Delta}(\lambda) \leq N_{\square}(\lambda).$$

Triangle rectangle quelconque :

Soit T un triangle rectangle de côtés a et b , inscrit dans un triangle rectangle isocèle T' comme suit :

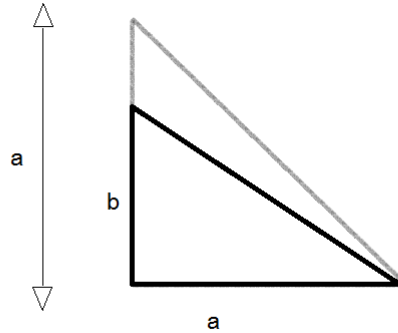


FIGURE 10 – Triangle rectangle quelconque

On effectue le changement de variables :

$$\begin{cases} z = x \\ t = \frac{ay}{b} \end{cases}$$

ce changement transforme T en T' . Si on calcule le quotient de Rayleigh, on trouve

$$\frac{\iint_T \left(\left(\frac{\partial \omega}{\partial x} \right)^2 + \left(\frac{\partial \omega}{\partial y} \right)^2 \right) dx dy}{\iint_T \omega^2 dx dy} = \frac{\iint_{T'} \left[\left(\frac{\partial \omega}{\partial z} \right)^2 + \frac{a^2}{b^2} \left(\frac{\partial \omega}{\partial t} \right)^2 \right] \frac{b}{a} dz dt}{\iint_{T'} \omega^2 \frac{b}{a} dz dt} \geq \frac{\iint_{T'} \left(\left(\frac{\partial \omega}{\partial z} \right)^2 + \left(\frac{\partial \omega}{\partial t} \right)^2 \right) dz dt}{\iint_{T'} \omega^2 dz dt}$$

car $a \geq b$.

On en déduit donc, en notant μ_n les valeurs propres pour T et λ celles pour T' , que

$$\mu_n \geq \lambda_n.$$

En reprenant la fonction N , on a donc :

$$N_T(\lambda) \leq N_{T'}(\lambda).$$

On peut maintenant diviser notre domaine arbitraire en carrés, triangles rectangles isocèles et triangles rectangles quelconques.

4.3.2 Approximation au sens fort

Pour affiner notre approximation, on va avoir besoin de la notion d'*approximation au sens fort*.

Définition 11. Approximation au sens fort. Soient G et G' deux domaines de \mathbb{R}^2 . On dit que G' approche G au sens fort si il existe $\varepsilon \geq 0$, et deux fonctions $g : \mathbb{R}^2 \rightarrow \mathbb{R}$ et $h : \mathbb{R}^2 \rightarrow \mathbb{R}$ qui vérifient $\forall (x, y) \in G$:

$$\begin{aligned} |g(x, y)| &\leq \varepsilon, & |h(x, y)| &\leq \varepsilon, \\ \left| \frac{\partial}{\partial x} g(x, y) \right| &\leq \varepsilon, & \left| \frac{\partial}{\partial x} h(x, y) \right| &\leq \varepsilon, \\ \left| \frac{\partial}{\partial y} g(x, y) \right| &\leq \varepsilon, & \left| \frac{\partial}{\partial y} h(x, y) \right| &\leq \varepsilon. \end{aligned}$$

et telles qu'on puisse passer de G à G' par les changements de variables :

$$\begin{cases} x' = x + g(x, y) \\ y' = y + h(x, y) \end{cases}$$

On dit que G' approche G avec la précision ε . Si $\varepsilon \rightarrow 0$, on dit que G' est déformé continûment en G .

On a le théorème suivant :

Théorème 4.3.1.

Quelle que soit la condition de bord, la $n^{\text{ème}}$ valeur propre de $-\Delta$ varie continument lorsque le domaine G est déformé en G' au sens fort défini ci-dessus.

Preuve :

Par souci d'économie, on va noter, pour u une fonction de deux variables (x, y) , u_x au lieu de $\frac{\partial u}{\partial x}$ et de même pour y .

Soient G et G' deux domaines qui satisfont les conditions du théorème. G' étant déformé continument en G , G' approche G avec la précision ε , $\forall \varepsilon$ suffisamment petit. Pour rappel, la $n^{\text{ème}}$ valeur propre λ_n est donnée par le théorème 4.2.1. On va montrer que le quotient de Rayleigh pour G peut approcher celui pour G' de manière continue.

Soit ϕ une fonction test arbitraire. On prend pour simplifier $\|\phi\| = 1$. On va effectuer les changements de variables :

$$\begin{cases} z = x + g(x, y) \\ t = y + h(x, y) \end{cases}$$

avec g et h comme dans la définition 11.

Le jacobien M est donné par $M = (1 + g_x)(1 + h_y) - g_y h_x$.

Avec notre choix de g et h , M est aussi proche de 1 qu'on le souhaite.

On note également $\phi'(z, t) = \phi(x, y)$.

Calculons le quotient de Rayleigh Q sur G :

$$\begin{aligned} Q &= \iint_G (\phi_x^2 + \phi_y^2) dx dy \\ &= \iint_{G'} \left([(1 + g_x)\phi'_z + h_x\phi'_t]^2 + [(1 + h_y)\phi'_t + g_y\phi'_z]^2 \right) M^{-1} dz dt \end{aligned}$$

Par définition de g et h , on a :

$$\begin{aligned} |g(x, y)| &\leq \varepsilon, & |h(x, y)| &\leq \varepsilon, \\ |g_x| &\leq \varepsilon, & |h_x| &\leq \varepsilon, \\ |g_y| &\leq \varepsilon, & |h_y| &\leq \varepsilon. \end{aligned}$$

Regardons les termes dans l'intégrale :

$$((1 + g_x)\phi'_z + h_x\phi'_t)^2 = (1 + g_x)^2\phi_z'^2 + 2(1 + g_x)\phi'_z h_x\phi'_t + h_x^2\phi_t'^2 \xrightarrow{\varepsilon \rightarrow 0} \phi_z'^2.$$

De même,

$$((1 + h_y)\phi'_t + g_y\phi'_z)^2 \xrightarrow{\varepsilon \rightarrow 0} \phi_t'^2.$$

On en déduit que

$$Q \xrightarrow{\varepsilon \rightarrow 0} \iint_{G'} (\phi_z'^2 + \phi_t'^2) dz dt = Q',$$

où Q' désigne le quotient de Rayleigh sur G' .

Il reste à voir la condition d'orthogonalité de ϕ qui apparaît dans le théorème 4.2.1.

Soient v_1, \dots, v_{n-1} $n-1$ fonctions C^1 par morceaux telles que $\langle v_i, \phi \rangle = 0 \forall i \in 1, \dots, n-1$.

On a donc :

$$\iint_G v_i \phi dx dy = \iint_G \frac{\partial v_i}{\partial x} \phi_x dx dy = \iint_G \frac{\partial v_i}{\partial y} \phi_y dx dy = 0 \quad \forall i \in 1, \dots, n-1.$$

Calculons le membre de gauche :

$$0 = \iint_G v_i \phi dx dy = \iint_{G'} v_i'(z, t) \phi'(z, t) M^{-1} dz dt = \iint_{G'} v_i''(z, t) \phi'(z, t) dz dt,$$

(en notant $v_i''(z, t) = M^{-1} v_i'$)

Calculons le membre "du milieu" :

$$\begin{aligned} 0 &= \iint_G \frac{\partial v_i}{\partial x} \phi_x dx dy = \iint_{G'} \frac{\partial v_i'(z, t)}{\partial x} \phi_x(z, t) M^{-1} dz dt \\ &= \iint_{G'} \left((1 + g_x) \frac{\partial v_i''}{\partial z} + h_x \frac{\partial v_i''}{\partial t} \right) \left((1 + g_x) \frac{\partial \phi'_z}{\partial z} + h_x \frac{\partial \phi'_t}{\partial t} \right) M^{-1} dz dt \xrightarrow{\varepsilon \rightarrow 0} \iint_{G'} \frac{\partial v_i''}{\partial x} \phi'_x dx dy. \end{aligned}$$

Le membre de droite se calcule de la même manière.

Ceci montre que la condition d'orthogonalité est préservée par le changement de variables, donc ϕ' satisfait les conditions du théorème 4.2.1, ce qui prouve alors le théorème 4.3.1.

□

Corollaire 3.

Notons μ_n (resp. μ'_n) les valeurs propres pour G (resp. G'). Dans le cas d'une déformation forte,

$$\forall \varepsilon > 0, \quad \exists \eta, \quad \forall n \in \mathbb{N}, \quad \left| \frac{\mu'_n}{\mu_n} - 1 \right| < \eta.$$

4.3.3 Bande frontière

Soit G un domaine plan borné arbitraire. On commence par encadrer G par deux quadrillages G_1 et G_2 , afin d'avoir $G_1 \leq G \leq G_2$. On va essayer de comprendre dans cette sous-partie ce qui se passe dans la zone comprise entre G_1 et G , appelée *bande frontière* (*boundary strip* en anglais).

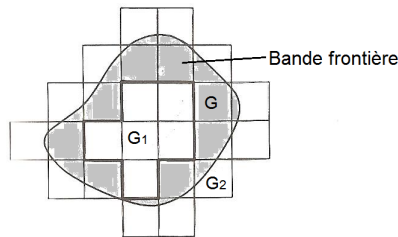


FIGURE 11 – Bande frontière - adapté de [Gar86, Figure 41, chap. 11]

Pour définir cette zone, supposons que la subdivision en carrés soit d'une finesse telle que pour chaque segment de bord contenu dans un carré, la direction du vecteur normal ne varie pas plus que d'un angle η (petit).

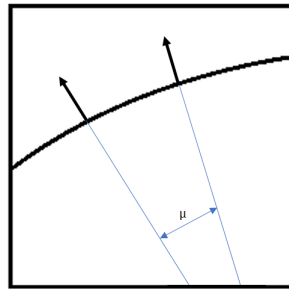


FIGURE 12 – Vecteurs normaux : $\mu \leq \eta$

Notons Γ le bord. On a alors un nombre fini r de domaines élémentaires, notés E_1, \dots, E_r qui sont associés à Γ d'une des deux manières suivantes :

- soit E_i ($1 \leq i \leq r$) est délimité par deux segments perpendiculaires $[AB]$ et $[AC]$ dont la longueur est comprise entre a et $3a$, et un segment du bord $[BC]$ (voir Fig. 13 ci dessous).

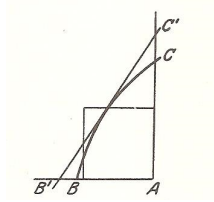


FIGURE 13 – Source : [CH53, Figure 5, chap. 6]

- soit E_i est délimité par un segment $[AB]$ de longueur a , deux segments $[AC]$ et $[BD]$ de longueur comprise entre a et $3a$, tels que $[AC] \perp [AB]$ et $[BD] \perp [AB]$, et un segment $[CD]$ du bord. (voir Fig. 14 ci dessous.)

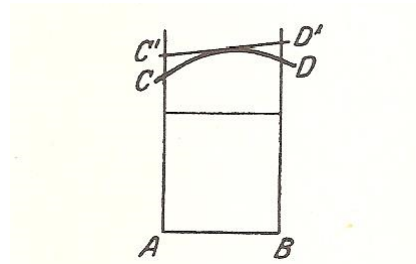


FIGURE 14 – Source : [CH53, Figure 6, chap. 6]

La bande frontière se compose alors de domaines de ces deux types, de telle sorte que lorsqu'on prive G de la bande frontière, il ne reste que le quadrillage intérieur G_1 . Ce quadrillage comporte h carrés Q_1, \dots, Q_h de côté a .

Comme r est fini, on peut écrire $r \leq \frac{C}{a}$, avec C constante indépendante de a .

Soit $i \leq r$ fixé. On va majorer la fonction de comptage, pour les conditions de Neumann, pour le domaine E_i , notée N_{E_i} .

Supposons que le domaine E_i soit de la forme de la Fig. 13. Le cas de la Fig. 14 est similaire.

Soit x un point sur le segment de bord $[BC]$. Soit $[B'C']$ la tangente à $[BC]$ passant par x .

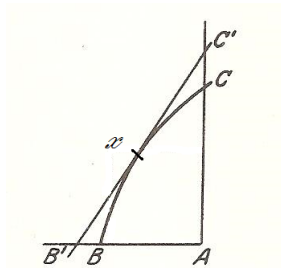


FIGURE 15 – adapté de [CH53, Figure 6, chap. 5]

Le triangle $AB'C'$ est donc rectangle en A et ses côtés sont de longueur $\leq 4a$ par construction. Notons le E'_i .

Décrivons comment passer de E_i à E'_i . Associons à ABC un système de coordonnées polaires (ρ, θ) , centré en A , et soit $\rho = f(\theta)$ une équation de $[BC]$.

La transformation $\begin{cases} \theta' = \theta \\ \rho' = \rho \frac{g(\theta)}{f(\theta)} \end{cases}$, avec g prise de telle sorte à satisfaire la définition 11, transforme E_i en E'_i .

En prenant a assez petit, on est précisément dans la situation de la définition 11. On peut choisir ε arbitrairement petit.

D'après le corollaire 3,

$$\exists \eta > 0, \quad \forall n \in \mathbb{N}, \quad \left| \frac{\mu'_n}{\mu_n} - 1 \right| \leq \eta,$$

pour μ_n et μ'_n valeurs propres pour G et G' respectivement.

Par conséquent, la même chose est vraie pour N_{E_i} et $N_{E'_i}$.

La même idée s'applique aux domaines de la forme de la Fig. 14.

Avec les majorations de la partie 4.3.1, on obtient l'inégalité

$$N_{E_i}(\lambda) < c_1 a^2 \lambda + c_2 a \sqrt{\lambda}, \quad c_1, c_2 \in \mathbb{R}. \quad (8)$$

4.3.4 Formule de Weyl générale

On peut désormais achever la preuve complète de la formule de Weyl. On fixe $\lambda \in \mathbb{R}_+^*$.

Notations :

- Quelle que soit la condition au bord, on note $N(\lambda) = \text{card} \{k \in \mathbb{N}, \lambda_k \leq \lambda\}$;
- On partitionne G en h carrés Q_1, \dots, Q_h de côté $a \geq 0$ et en r domaines de la bande frontière E_1, \dots, E_r ;
- $A_i(\lambda) = \text{card}(k \in \mathbb{N}, \lambda_k \leq \lambda)$ pour Q_i , avec Dirichlet ;
- $B_i(\lambda) = \text{card}(k \in \mathbb{N}, \lambda_k \leq \lambda)$ pour Q_i , avec Neumann ;
- $A_{E_i}(\lambda) = \text{card}(k \in \mathbb{N}, \lambda_k \leq \lambda)$ pour E_i , avec Dirichlet ;
- $B_{E_i}(\lambda) = \text{card}(k \in \mathbb{N}, \lambda_k \leq \lambda)$ pour E_i , avec Neumann ;
- Enfin, on note $\mathcal{A}(G)$ l'aire de G .

Avec les parties précédentes, on a :

$$\begin{aligned} A_i(\lambda) &= \frac{a^2 \lambda}{4\pi} + a\theta_1 c_1 \sqrt{\lambda} \\ B_i(\lambda) &= \frac{a^2 \lambda}{4\pi} + a\theta_2 c_2 \sqrt{\lambda} \\ B_{E_i}(\lambda) &= \theta_3 (c_3 a^2 \lambda + c_4 a \sqrt{\lambda}) \end{aligned}$$

Avec $-1 \leq \theta_j \leq 1$ et c_j constantes indépendantes de a, i, λ .

On a :

$$A_1(\lambda) + \dots + A_h(\lambda) \leq N(\lambda) \leq B_1(\lambda) + \dots + B_h(\lambda) + B_{E_1}(\lambda) + \dots + B_{E_r}(\lambda).$$

Or,

$$A_1(\lambda) + \dots + A_h(\lambda) = \frac{\lambda h a^2}{4\pi} + h a \theta_1 c_1 \sqrt{\lambda} = \lambda \left(\frac{h a^2}{4\pi} + \frac{h a \theta_1 c_1}{\sqrt{\lambda}} \right)$$

et

$$\begin{aligned} \sum_{j=1}^h B_j(\lambda) + \sum_{k=1}^r B_{E_k} &= \frac{ha^2\lambda}{4\pi} + ha\theta_2c_2\sqrt{\lambda} + \theta_3(c_3ra^2\lambda + rc_4a\sqrt{\lambda}) \\ &= \lambda \left(\frac{ha^2}{4\pi} + \theta_3c_3ra^2 + \frac{1}{\sqrt{\lambda}}(ha\theta_2c_3 + ra\theta_3c_4) \right). \end{aligned}$$

La quantité ar est *finie*. On obtient donc, pour un a pris assez petit, a^2r aussi petit que l'on veut et on a de plus,

$$\forall \delta > 0, \quad |ha^2 - \mathcal{A}(G)| < \delta,$$

ha^2 étant l'aire du quadrillage $G_1 = \bigcup_{j=1}^h Q_j$.

On déduit donc la relation asymptotique suivante :

$$\lim_{\lambda \rightarrow \infty} \frac{4\pi N(\lambda)}{\lambda \mathcal{A}(G)} = 1,$$

ce qui peut se réécrire, en substituant comme d'habitude la $n^{\text{ème}}$ valeur propre λ_n à λ et n à $N(\lambda)$:

$$\lim_{n \rightarrow \infty} \left(\frac{\lambda_n}{n} \right) = \frac{4\pi}{\mathcal{A}(G)},$$

ce qui prouve la *formule de Weyl* dans le cas général de la dimension 2.

5 Applications de la formule, généralisation

Dans cette ultime section, nous allons discuter de l'intérêt de cette formule et des conséquences et applications qu'elle peut avoir, de manière essentiellement qualitative. On citera aussi (rapidement) une généralisation possible.

5.1 Problèmes directs et valeurs propres

5.1.1 Problème direct

Dans notre situation, avoir affaire à un *problème direct* revient à se poser la question suivante : si la forme du domaine sur lequel on travaille est connue, que peut-on en déduire sur les valeurs propres ?

On a vu qu'il est possible de calculer assez facilement au moins la première valeur propre, pour des domaines simples (segment, rectangle).

Avec la formule de Weyl, on peut aussi trouver le comportement asymptotique de ces valeurs propres, connaissant les caractéristiques géométriques du domaine.

5.1.2 Interprétation des valeurs propres

On va principalement discuter le cas de la première valeur propre λ_1 sur un domaine plan. Elle correspond à la *fréquence fondamentale* f_1 via la formule $f_1 = \frac{1}{2\pi}\sqrt{\lambda_1}$.

En musique, il est bien connu que la plupart des instruments (en fait, tous sauf le diapason) ne produisent pas des sons purs, c'est à dire qu'il y a plus d'une fréquence (ou "harmonique") dans le son produit. La première valeur propre correspond donc à la fréquence fondamentale. C'est celle-ci qui va donner la hauteur de la note qui est jouée. Les autres harmoniques vont enrichir le spectre sonore et donner sa richesse au son.

C'est notamment le cas pour une corde vibrante (guitare, violon...). Une modélisation très simpliste (mais suffisante pour comprendre ce qui se passe) est d'assimiler la corde à un segment de droite. On est donc ramené à un problème en une dimension, avec les conditions de Dirichlet. Si l'on s'intéresse à une corde en particulier, son unique caractéristique géométrique pertinente est sa longueur. Pour jouer plus grave ou plus aigu, il faut rallonger ou raccourcir la longueur de la corde qui vibre. C'est ce que font par exemple les guitaristes quand ils déplacent leur main sur le manche de leur instrument.

Connaissant la longueur de la corde vibrante, il est donc possible de trouver la fréquence de la vibration et donc de savoir quelle est la note jouée, en déterminant la première valeur propre. C'est un peu ce que font les guitaristes en choisissant où pincer la corde pour jouer la note voulue. Peu d'entre eux cependant doivent faire le lien avec le laplacien, sauf peut-être Brian May de Queen qui possède un doctorat en astrophysique...

Sur le graphe suivant on voit que si l'on joue un La à la guitare, la fréquence fondamentale est à 221 Hz : c'est la note perçue. Le pic à 442 Hz correspond au La de l'octave supérieure, qui fait partie des harmoniques produites. L'autre pic notable, à 327 Hz, correspond lui à un Mi, qui apparaît aussi dans les harmoniques produites (le Mi et le La sont espacés d'une quinte).

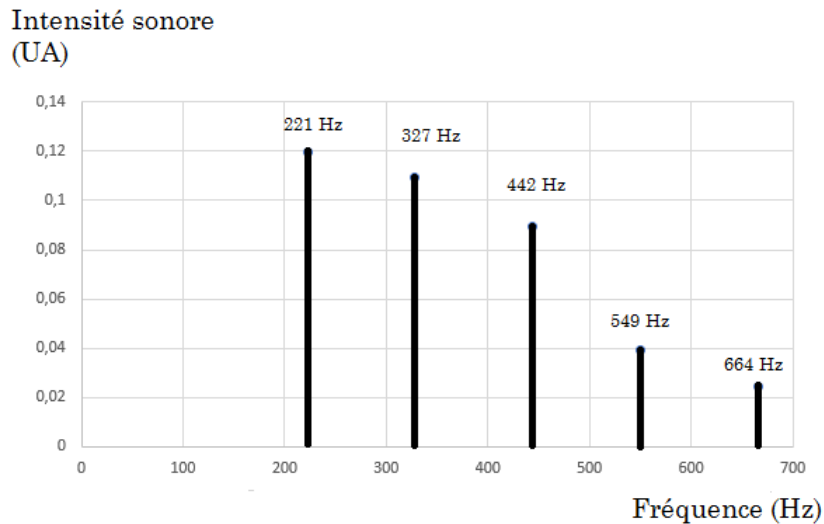


FIGURE 16 – Représentation de l’intensité sonore en fonction de la fréquence pour un La.

5.2 Problème inverse

Un *problème inverse* revient à se poser la question suivante : si les valeurs propres pour un domaine sont connues, que peut-on en déduire de sa géométrie ?

Historiquement, les concepteurs de cloches au Moyen-Age savaient déjà détecter des fissures sur les cloches en les faisant sonner au sol, avant de les installer dans les clochers. En effet, une fissure, aussi petite soit-elle, va modifier la fréquence de vibration de la cloche et donc le son émis.

Avec notre formule de Weyl, on peut retrouver l’aire d’un domaine si l’on connaît assez de valeurs propres. Cependant, on ne peut pas retrouver exactement la forme du domaine : deux domaines différents mais ayant la même aire et le même périmètre ne sont pas discernables par cette méthode.

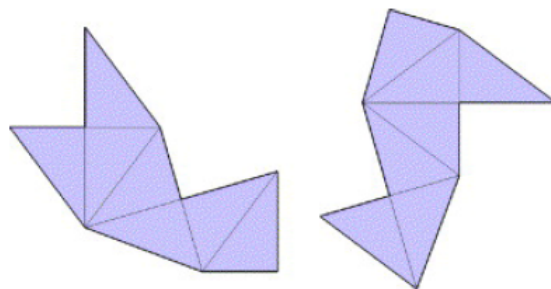


FIGURE 17 – Deux domaines différents admettant le même spectre - source : [Can]

On peut néanmoins tirer un certain nombre d’informations en connaissant les valeurs propres associées à un domaine. Pour un polygone Ω et pour le laplacien de Dirichlet, la formule suivante a été démontrée par Mark Kac en 1966 :

$$\sum_{k=1}^{\infty} e^{-\lambda_k t} \sim \frac{1}{4\pi t} \left(\mathcal{A}(\Omega) - \sqrt{4\pi t} \times \mathcal{P}(\Omega) + \frac{2\pi t}{3}(1 - \gamma(\Omega)) \right),$$

où $\mathcal{A}(\Omega)$ et $\mathcal{P}(\Omega)$ désignent respectivement l'aire et le périmètre de Ω , et $\gamma(\Omega)$ son genre (pour faire simple, le genre d'une surface correspond au nombre de "trous" qui la percent). Cette formule montre donc qu'il est possible, à partir de la séquence de valeurs propres, de déduire l'aire du domaine, son périmètre et le nombre de trous qui le percent !

5.3 Généralisation

La formule de Weyl est généralisable en dimension (finie) quelconque.

En dimension 3, on a le résultat suivant, pour un domaine connexe borné admettant un bord lisse :

$$\frac{\lambda_n^{3/2}}{n} \xrightarrow{n \rightarrow \infty} \frac{6\pi^2}{\mathcal{V}(\Omega)},$$

où $\mathcal{V}(\Omega)$ désigne le volume de Ω . En introduisant $N(\lambda)$ comme toujours, on a :

$$\frac{N(\lambda)}{\lambda^{3/2}} \xrightarrow{\lambda \rightarrow \infty} \frac{\mathcal{V}(\Omega)}{6\pi^2}.$$

Il est possible de généraliser à une dimension d finie quelconque :

$$\lim_{\lambda \rightarrow \infty} \frac{N(\lambda)}{\lambda^{d/2}} = (2\pi)^{-d} \omega_d \mathcal{V}(\Omega),$$

où $\mathcal{V}(\Omega)$ désigne le volume de Ω et ω_d le volume de la boule unité de \mathbb{R}^d . On pourra consulter [Can] pour les détails. On y trouvera notamment de nombreux exemples classiques.

6 Conclusion

Pour prouver la formule dans le cas d'un domaine simplement connexe et borné de \mathbb{R}^2 , on a commencé par le cas d'un rectangle pour ensuite étendre et généraliser la formule à un domaine quelconque. Pour y parvenir, on a introduit de nouveaux outils d'analyse, telles que le principe du minimum (3.1.1) ou le théorème maximin (4.2.1).

Cependant, on n'a fait qu'effleurer la surface d'une discipline très riche. On n'a pas parlé de fonctions de Green, d'opérateurs à noyaux, etc... qui sont d'autres outils efficaces pour traiter des problèmes d'équations aux dérivées partielles. Les applications en physique sont innombrables et ont des répercussions massives sur le quotidien de chacun. On citera notamment la résolution de l'équation de la chaleur ou d'équations d'onde, par exemple.

D'un point de vue plus abstrait, il est possible d'appliquer la formule sur des variétés Riemanniennes, ce qui est une manière intéressante d'étudier ces objets en utilisant le laplacien.

Références

- [Bre83] Haï m Brezis. *Analyse Fonctionnelle*. Collection Mathématiques Appliquées pour la Maîtrise. [Collection of Applied Mathematics for the Master's Degree]. Masson, Paris, 1983. Théorie et applications. [Theory and applications].
- [Can] Yaiza Canzani. Analysis on manifolds via the laplacian.
- [CH53] R. Courant and D. Hilbert. *Methods of Mathematical Physics. Vol. I*. Interscience Publishers, Inc., New York, N.Y., 1953.
- [Cia] P.G. Ciarlet. *Introduction à l'analyse numérique matricielle et à l'optimisation*.
- [Eva] L.C. Evans. *Partial Differential Equations*.
- [Gar86] P. R. Garabedian. *Partial Differential Equations*. Chelsea Publishing Co., New York, second edition, 1986.
- [GT83] David Gilberg and Neil S. Trudinger. *Elliptic Partial Differential Equations of Second Order*. Springer-Verlag, Berlin, 1983.
- [Str92] Walter A. Strauss. *Partial Differential Equations*. John Wiley & Sons, Inc., New York, 1992. An introduction.